



รายงานวิจัยฉบับสมบูรณ์

โครงการ ผลของการดีวามิกต่อการคงตัวของโลหะหนักในดินที่  
ปรับเสถียรด้วยปูนซีเมนต์  
(Effects of humic acids on the retention of heavy metals in  
cement-based stabilised soil)

โดย ผู้ช่วยศาสตราจารย์ ดร. อภิชาติ อิ่มยิม

ตุลาคม 2553

ສັບປະລິເລກທີ MRG4780102

## รายงานວิจัยฉบับสมบูรณ์

โครงการ ผลของกรดອິວມິກต่อการคงตัวຂອງໂລຮະໜັກໃນດິນທີ  
ປັບເສົ້າຍດ້ວຍປຸ່ນເຊີເມນັດ

(Effects of humic acids on the retention of heavy metals in  
cement-based stabilised soil)

ผู้วิจัย

ผู้ช่วยศาสตราจารย์ ดร. ອົງຈົດ ຂົມຍິມ  
ภาควิชาเคมี คณะวิทยาศาสตร์ จุฬาลงกรณ์มหาวิทยาลัย

ສັບສົນໂດຍສໍານັກງານຄະດະມການການອຸດນິກຂໍ້ມາ ແລະ ສໍານັກງານກອງຖຸນສັບສົນກາງວິຈัย  
(ຄວາມເຫັນໃນรายงานນີ້ເປັນຂອງຜູ້ວິຈัย ສກອ. ແລະ ສກວ. ໄນຈໍາເປັນຕົ້ນດ້ວຍເສມອໄປ)

## กิตติกรรมประกาศ

ผู้วิจัยขอขอบคุณสำนักงานคณะกรรมการการอุดมศึกษา และสำนักงานกองทุนสนับสนุนการวิจัยที่ให้ทุนสนับสนุนการวิจัย และขอขอบคุณเจ้าหน้าที่ทุกท่านที่ช่วยประสานงานเกี่ยวกับทุนวิจัยนี้ และขอขอบคุณนักวิจัยและคณาจารย์ในหน่วยปฏิบัติการวิจัยการวิเคราะห์เชิงสภาวะแวดล้อม (EARU) และรองศาสตราจารย์ ดร. วิทยา เรืองพรวิสุทธิ์ ภาควิชาเคมี คณะวิทยาศาสตร์ ที่ช่วยดูแลและให้คำปรึกษาตลอดระยะเวลาการดำเนินการวิจัย ขอขอบคุณ เรือโภ อนิวัตร ปัสสาโก กรมวิทยาศาสตร์ทหารเรือ กองทัพเรือ ที่ช่วยทำการทดลองและอำนวยความสะดวกในการวิเคราะห์ด้วยอย่างด้วยเครื่องมือต่างๆ

## บทคัดย่อ

รหัสโครงการ : MRG4780102

**ชื่อโครงการ :** ผลของกรดอิวมิกต่อการคงตัวของโลหะหนักในดินที่ปรับเสถียรด้วยบุนชีเมนต์

**ชื่อนักวิจัย :** ผู้ช่วยศาสตราจารย์ ดร. อภิชาติ อิ่มยิ่ง<sup>1</sup>  
ภาควิชาเคมี คณะวิทยาศาสตร์ จุฬาลงกรณ์มหาวิทยาลัย

**E-mail Address:** iapichat@chula.ac.th

**ระยะเวลาโครงการ :** 2 ปี

ในงานวิจัยนี้ได้ทำการทดสอบและศึกษาสมบัติทางเคมีของกรดอิวมิกจากดินปนเปื้อนโลหะหนัก เช่น ดีเจเกอร์ แคนเดเมียม ทองแಡง โครเมียม นิกเกิล ตะกั่วและสังกะสี และศึกษาการดูดซึบของโลหะดังกล่าวบนดิน พบร่วมกับการดูดซึบของโลหะทุกชนิดลดลงเมื่อมีกรดอิวมิก ศึกษาการคงตัวของโลหะหนักในดินที่มีกรดอิวมิกโดยผ่านการปรับเสถียรและทำให้เป็นก้อนแข็งด้วยบุนชีเมนต์พอร์ดแลนด์ ปริมาณกรดอิวมิกและโลหะในดินมีผลทำให้ความทนต่อแรงอัดของก้อนก้อนของแข็งปรับเสถียรลดลง ทำการทดสอบก้อนของแข็งปรับเสถียรตามวิธีของ TCLP พบร่วมกับกรดอิวมิกสามารถลดการละลายของแคนเดเมียมและนิกเกิลลงอย่างมีนัยสำคัญ ศึกษาพฤติกรรมของการละลายของโลหะภายใต้ตัวแปรต่างๆ ได้แก่ พีเอช ชนิดของน้ำazaric น้ำประจุจากไอออน สารละลายโพแทสเซียมในเกรต กรดอะซีติก และกรดอิวมิกที่ความเข้มข้นต่างๆ อัตราส่วนระหว่างน้ำazaric กับก้อนของแข็งปรับเสถียร ระยะเวลาสามผัสด พบร่วมกับพีเอชมีผลต่อการละลายของโลหะคือในภาวะที่เป็นกรดและเบสสูง การละลายจะสูงกว่าช่วงพีเอชที่เป็นกลาง ชนิดของน้ำazaric มีผลต่อการละลายซึ่งจะแตกต่างกันสำหรับโลหะแต่ละชนิด โดยทั่วไปน้ำประจุจากไอออนและสารละลายโพแทสเซียมในเกรตให้ผลการละลายที่ไม่แตกต่างกัน กรดอะซีติกจะลดลง โลหะละลายได้มากขึ้นเมื่ออัตราส่วนระหว่างน้ำazaric กับก้อนของแข็งปรับเสถียรเพิ่มขึ้น เมื่อเปรียบเทียบก้อนของแข็งปรับเสถียรที่เดิมและไม่เดิมกรดอิวมิกพบว่า การละลายมีความแตกต่างอย่างชัดเจนในกรณีของนิกเกิลและตะกั่ว ผลการศึกษาการละลายของก้อนก้อนของแข็งปรับเสถียรที่เวลาต่างๆ พบร่วมกับกรดอิวมิกพบว่ามีเวลาเพิ่มขึ้นโลหะละลายได้มากขึ้น แต่ผลลัพธ์การละลายลดลง ผลการละลายนำไปสู่การหาตัวแปรอินพุทสำหรับแบบจำลองการละลายซึ่งผนวกการเคลื่อนที่กับปฏิกิริยาเคมีที่เกิดขึ้นในสารละลายในรูปแบบของก้อนของแข็งและน้ำazaric แบบจำลองสามารถคำนวณความเข้มข้นและปริมาณการละลายของแต่ละสปีชีส์

**คำหลัก :** โลหะหนัก กรดอิวมิก การปรับเสถียร การละลาย ดินปนเปื้อน

## Abstract

---

**Project Code:** MRG4780102

**Project Title:** Effects of humic acids on the retention of heavy metals in cement-based stabilised soil

**Investigator:** Assist. Prof. Apichat Imyim (Ph.D.), Department of Chemistry,  
Faculty of Science, Chulalongkorn University, Pathumwan, Bangkok 10330, Thailand

**E-mail Address:** iapichat@chula.ac.th

**Project Period:** 2 years

The properties of extracted humic acids from heavy metals (Cd, Cu, Cr, Pb, Ni, and Zn) contaminated soil had been studied to understand of their influence on metal sorption onto soil. The results demonstrated that humic acids decreased metal sorption onto soils. The retention of six metals in cement based -stabilized soil containing humic acids had been studied. The compressive strength of concrete mortar decreased when the amount of metals and humic acids in soil increased. The TCLP test was performed on the stabilized soils, the results elucidated that humic acids in soils decreased significantly the leached amounts of cadmium and nickel. The leaching behaviors under the factors affecting metal releasing were investigated. These factors were pH, type of leaching medium (deionized water, potassium nitrate, acetic and humic acid solutions), liquid to solid ratio and contact time of leaching. The metals could be highly released at low and high pH, while their releases were moderate at neutral pH. The amounts of released metal depend on the type of leaching media. The metal solubilizations from stabilized soil with and without humic acids were distinguished different especially in the case of nickel and lead species. The increase of contact time of leaching enhanced the cumulative amount of leached metals; however, the leaching flux reduced. The results of the tests lead to identify the necessary input parameters of a leaching model. The leaching model takes into account the transport phenomena coupled with main physico-chemical reactions in the saturated pore system of the material as well as in the eluate. The model provides the concentration and the cumulative quantities released for each species.

**Keywords:** Heavy metal, Humic acid, Stabilisation, Leaching, Contaminated soil

## สารบัญ

กิตติกรรมประกาศ (Acknowledgements)	ก
บทคัดย่อภาษาไทย	ข
บทคัดย่อภาษาอังกฤษ (Abstract)	ค
สารบัญ	ง
<b>บทที่ 1 บทนำและการสำรวจแนวคิดและการวิจัยที่เกี่ยวข้อง</b>	<b>1</b>
1. บทนำ	1
2. กรณีวิมิก	1
3. การทำให้เป็นของแข็ง/การปรับเสถียร	3
4. การทดสอบการละลาย	3
5. สรุปแนวคิด	4
6. วัตถุประสงค์ของโครงการ	4
<b>บทที่ 2 วิธีการทดลอง</b>	<b>5</b>
1. การเก็บตัวอย่าง	5
2. การศึกษาสมบัติของดิน การแยกกรดอิมิกและการหลักชณะเฉพาะ	5
3. การศึกษา adsorption isotherm	7
4. การปรับเสถียร	7
5. การทดสอบการละลาย	7
6. แบบจำลองการละลาย (leaching model)	10
<b>บทที่ 3 ผลการทดลองและบทวิจารณ์</b>	<b>13</b>
1. สมบัติเชิงฟิสิกส์และเคมีของดิน	13
2. การแยกกรดอิมิกและการหลักชณะเฉพาะ	13
3. การศึกษา adsorption isotherm	14
4. การปรับเสถียร	20
5. การทดสอบการละลาย	22
6. พลักดันการละลาย (leaching flux)	30
7. ผลการคำนวณแบบจำลอง	39
<b>บทที่ 4 บทสรุปและข้อเสนอแนะ</b>	<b>41</b>
เอกสารอ้างอิง (References)	42
Output จากโครงการวิจัย	43
ภาคผนวก	44

## บทที่ 1

### บทนำและการสำรวจแนวคิดและการวิจัยที่เกี่ยวข้อง

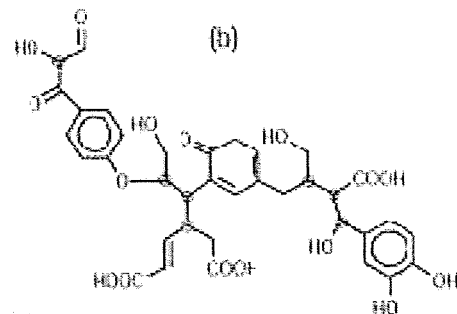
#### 1. บทนำ

สารอิวมิกในดินมีสมบัติที่โดดเด่นคือมีความจุการแลกเปลี่ยนไฮอนสูง จากการปะกอบและโครงสร้างของสารอิวมิกมีหมู่ฟังก์ชันคาร์บออกซิลิกซึ่งเป็นหมู่สำคัญที่มีส่วนเกี่ยวข้องในการทำหน้าที่เป็น บัฟเฟอร์ สารอุ้มน้ำแลกเปลี่ยนไฮอน และความเป็นกรดและเกิดสารประกอบเชิงช้อนกับโลหะได้ นอกจากนี้มีหมู่แอลิฟาติกไฮดรอเจนที่สามารถถabilize พันธะกับไฮอนของโลหะได้ เช่นกัน [1,2] โดยหนักในดินจึงถูกตรึงไว้กับสารอิวมิก ลดพิษทางดินที่เกิดจากการปนเปื้อนโลหะหนักมีมากยิ่งขึ้นในปัจจุบัน [3] เทคโนโลยีเพื่อการฟื้นฟูสภาพดินปนเปื้อนโลหะหนักมีหลายวิธี เช่นวิธีการสกัดด้วยกรด การสกัดด้วยสารก่อคีเลต การดูดกินโดยพิช และการใช้จุลินทรีย์ [4] นอกจากนี้มีวิธีบำบัดที่ใช้กันอย่างกว้างขวางและเป็นวิธีการที่กระทรวงอุดตสาหกรรมได้บังคับใช้ตามประกาศกระทรวงฉบับที่ 6 (พ.ศ. 2540) [5] คือการทำให้เป็นของแข็งและการปรับเสถียร (Solidification/ Stabilization) โดยใช้ปูนซีเมนต์เป็นวัสดุประสาน เพื่อจำกัดการเคลื่อนที่ของโลหะหนักแล้วฝังกลบของเสียบำบัด (คอนกรีต) หรือนำไปใช้ประโยชน์ การนำก้อนคอนกรีตไปกำจัดหรือนำไปใช้ประโยชน์ ในธรรมชาติก้อนคอนกรีตต้องสัมผัสกับแหล่งน้ำอย่างหลีกเลี่ยงไม่ได้ อาจทำให้โลหะหนักในก้อนคอนกรีตหลุดลอดออกไปได้ การศึกษาปัจจัยที่ผลต่อการละลายและการแพร่กระจายของโลหะหนักจึงเป็นสิ่งจำเป็นและเป็นข้อกำหนดในหลายประเทศ[6] ความรู้ที่ได้สามารถนำไปใช้ในการทำนายการปลดปล่อยของโลหะหนักในระยะยาว และเป็นเครื่องมือช่วยในการป้องกันการปนเปื้อนของโลหะหนักในแหล่งน้ำธรรมชาติและป้องกันผลกระทบต่อสิ่งแวดล้อม จากข้อดีของกรดอิวมิกในดินที่เป็นสารก่อคีเลตกับโลหะหนัก น่าจะมีส่วนช่วยในการจำกัดการเคลื่อนที่ของโลหะหนักได้ ในงานวิจัยนี้จะศึกษาสมบัติการเป็นสารก่อคีเลตของกรดอิวมิกกับโลหะหนักในดินที่ปรับเสถียรด้วยปูนซีเมนต์ และศึกษาอิทธิพลของกรดอิวมิกต่อการคงตัวของโลหะหนักในก้อนคอนกรีตที่เกิดจากการผสมดินปนเปื้อนกับปูนซีเมนต์ นอกจากนี้จะสร้างแบบจำลองการชะ (Leaching Model) ที่เป็นเครื่องมือในการทำนายการละลายของโลหะหนักจากก้อนคอนกรีตลงสู่แหล่งน้ำธรรมชาติ โดยจะผนวกการเคลื่อนที่โดยอาศัยการแพร่ (Diffusion) กับการเกิดพันธะของไฮอนของโลหะกับกรดอิวมิก

#### 2. กรดอิวมิก

สารอิวมิก (Humic Substances, HSs) เป็นสารในธรรมชาติที่เกิดจากการย่อยสลายของชากพืชและสัตว์สะสมอยู่ในดิน ดินตะกอนและแหล่งน้ำ แบ่งได้เป็น 2 ประเภท [1,2] ตามสมบัติการละลายน้ำคือกรดอิวมิก (Humic Acids, HAs) จะติดตะกอนในสารละลายกรด pH 1-2 และ กรดฟุลวิก (Fulvic Acids, FAs) ละลายได้ในทุก pH ในงานวิจัยนี้สนใจเฉพาะกรดอิวมิก

กรดอิวมิกเป็นสารอินทรีย์ที่มีโมเลกุลขนาดใหญ่และซับซ้อน (Complex Macromolecular Substances) มีมวลโมเลกุลประมาณ 2000 - 400,000 Da มีสูตรอย่างง่ายดังนี้  $C_{10}H_{12}O_5N$  ถึง  $C_{72}H_{68}O_{38}N_4$  มีโครงสร้างที่ไม่แน่นอนดังรูปที่ 1-1



รูปที่ 1-1 Supramolecular architecture ของสารอิวมิก [1]

กรดอิวมิกเป็นสารที่มีวงศ์роматिकเชื่อมกันด้วยสายแอลฟิดิก มีหมู่ฟังก์ชันคาร์บออกซิลิก คาร์บอนิล อิเทอร์ และไฮดรอกซิล จึงทำให้สารอิวมิกมีสมบัติในการเกิดอันตราริยากับโลหะได้ดี สามารถเกิดเป็นสารประกอบเชิงช้อน และเกิดการแลกเปลี่ยนไอออน และยังมีสมบัติรีดิวช์ Fe(III) Sn(IV) V(V) และ Cr(VI) ได้ [1]

รายงานความสามารถของการเกิดสารเชิงช้อนของสารอิวมิกในหลายกรณีเกิดได้ดีกว่า EDTA และมีรายงานการเกิดอันตราริยากับโลหะหนักหลายชนิด เช่น Am Cm Cu Cd Co Eu Fe Hg Mn Ni Pb Sn Th V W U และ Zn [7-9] การเกิดสารเชิงช้อนของโลหะหนักกับสารอิวมิก เกิดจากหมู่คาร์บออกซิลิก ปริมาณของโลหะที่เกิดสารเชิงช้อนประมาณได้เท่ากับจำนวนของหมู่คาร์บออกซิลิก ซึ่งความจำเพาะของการเกิดสารเชิงช้อนจะแตกต่างกันไปขึ้นกับชนิดของโลหะ และสัดส่วนของสารอิวมิก โดยทั่วไปค่าคงที่เสถียรภาพของสารเชิงช้อนลดลงตามลำดับคือ Cu > Fe = Al > Mn = Co > Zn [8]

การหาค่าคงที่เสถียรภาพ (Stability Constant,  $K_f$ ) ของสารอิวมิกกับโลหะหนักมีหลายวิธี [2] ได้แก่ วิธีการกรองและ ultrafiltration วิธี EDTA competitive exchange reaction วิธี Size exclusion/gel permeation chromatography วิธีแลกเปลี่ยนไอออน และวิธี Electrophoresis

โลหะหนักในดินอยู่ในทั้งรูปไฮอนและสารเชิงช้อนในสภาพสมดุล ปัจจัยที่เกี่ยวข้องกับการดูดซับของไฮอนของโลหะโดยินประกอบด้วย [3, 10]

- ปัจจัยที่สัมพันธ์กับการถูกดูดซับของโลหะในดินได้แก่ exchange adsorption บนพื้นผิวของ clay และสารอิวมิก การเกิดสารเชิงช้อนกับสารอิวมิก การเกิด occlusion ด้วยไฮเดรตออกไซด์ของอะลูมิเนียม เหล็ก แมงกานีส และอื่น ๆ
- ปัจจัยที่ควบคุมการปล่อยออกมาของโลหะ ได้แก่ การละลาย การเคลื่อนย้าย และการคงสภาพของชาตุโลหะหนักให้อยู่ในดิน กลไกที่เกี่ยวข้องได้แก่ การแลกเปลี่ยนประจุบวก การดูดซับ การตกตะกอนร่วม ตะกอนที่ไม่ละลายของโลหะหนักในดิน เช่น CdS, soil-Cu,  $Cu_2Fe_2O_4$ ,  $Pb_5(PO_4)_3Cl$

มีการศึกษาวิจัยสารอิวมิก ในหลากหลายสาขาและการใช้ในด้านต่าง ๆ อย่างต่อเนื่องและมีจำนวนเพิ่มมากขึ้น [1, 2] เช่น กระบวนการเกิด โครงสร้าง และคุณลักษณะของสารอิวมิกที่ได้จากแหล่งต่าง ๆ ในธรรมชาติ วิธีการสกัด การแยกและการทำให้บริสุทธิ์ของสารอิวมิก การใช้เป็นตัวดูดซับ [11] การสังเคราะห์สารอิวมิก [1] จนศาสตร์และไฮโฉเทอมของการดูดซับสารอิวมิกกับไฮอนของโลหะ [9] ความสามารถของการเกิดสารประกอบเชิงช้อนกับโลหะต่างๆ [12] ความสามารถในการเคลื่อนย้าย [13] การใช้เป็นสารเคมีในกระบวนการฟื้นฟูในดินและน้ำ เป็นตัวดูดซับของสารปนเปื้อนโดยเฉพาะอย่างยิ่งโลหะหนักและ lipophilic substances [2, 12]

### 3. การทำให้เป็นของแข็ง/การปรับเปลี่ยน

การจำกัดการเคลื่อนที่ของโลหะในดินปนเปื้อนที่ใช้กันมากที่สุด คือการทำให้เป็นของแข็ง/การปรับเปลี่ยน [14] ซึ่งวิธีการนี้เป็นข้อกำหนด ระเบียบข้อบังคับในหลายประเทศ รวมถึงประเทศไทยด้วย วิธีการทำว่าไปเกี่ยวข้อง กับการผสมวัสดุประสานกับดินปนเปื้อน ซึ่งวัสดุประสานที่ใช้มีทั้งที่เป็นสารอนินทรีย์ เช่น ชีเมนต์ ข้าวเบาหรือ blast furnace slag โดยกลไกของการจำกัดการเคลื่อนที่คือการทำให้เกิดตะกอนไฮดรอกไซด์ ภายในเมตริกซ์ของแข็ง [15]

การนำก้อนคอนกรีตไปผังกลบหรือนำไปใช้ในงานก่อสร้าง เช่นใช้เป็นวัสดุสำหรับหล่อฐานอาคาร [16] เมื่อก้อนคอนกรีตสัมผัสกับน้ำธรรมชาติ จะทำให้เกิดการละลายและการแพร่กระจายของโลหะหนักออกสู่ สิ่งแวดล้อม จึงมีความจำเป็นต้องศึกษาผลกระทบต่อสิ่งแวดล้อมก่อนจะทำการกำจัดหรือนำไปใช้ ตามประกาศ กระทรวงอุตสาหกรรมฉบับที่ 6 [5] ได้กำหนดเกณฑ์ในการสกัดสารจากก้อนคอนกรีตที่ได้จากการวนการบำบัด ด้วยกระบวนการปรับเปลี่ยนและการทำให้เป็นก้อนแข็งด้วยปูนชีเมนต์ และตามข้อกำหนด EN 12 920 [6] ได้ กำหนดให้ต้องศึกษาผลกระทบต่อสิ่งแวดล้อม ก่อนที่จะนำกลับมาใช้ใหม่

### 4. การทดสอบการละลาย

วิธีการศึกษาผลกระทบต่อสิ่งแวดล้อมต้องอาศัยวิธีการทางเคมีวิเคราะห์หรือเรียกว่า การทดสอบการ ละลาย (Leaching Test) โดยแบ่งออกเป็น 2 ประเภทคือ

- การทดสอบเพื่อเป็นไปตามเกณฑ์ เพื่อทดสอบหาปริมาณสารที่ถูกละลายน้ำ (Leachable) จากสิ่ง ปฏิกูลและวัสดุที่ไม่ใช้แล้ว และเพื่อทดสอบว่าสิ่งปฏิกูลและวัสดุที่ไม่ใช้แล้วได้ผ่านการทำลายถูกที่ หรือปรับเปลี่ยนอย่างสมบูรณ์หรือไม่
- การทดสอบเพื่อหาดั้วแปรที่กำหนดพฤติกรรมของสารมลพิษในระยะยาว (Long-term Behavioral Leaching Test)

การทดสอบการละลาย (Leaching Test) เพื่อหาดั้วแปรที่สามารถดำเนินการตามกฎหมายการละลายและการ แพร่กระจายของสารมลพิษในระยะยาวออกสู่สิ่งแวดล้อมมี 3 การทดสอบคือ [17]

- 1) การศึกษาองค์ประกอบทางเคมีของสารละลายในรูปน้ำหรือของก้อนคอนกรีต (Pore Water Simulation and Maximum Leachable Fraction Test) วัดถุประสงค์เพื่อหาองค์ประกอบทางเคมี ของสารละลายในรูปน้ำของก้อนคอนกรีต และปริมาณสูงสุดที่สารต่าง ๆ สามารถละลายได้
- 2) การศึกษาอิทธิพลของค่าพีเอช (pH) ต่อการละลายของสาร (Influence of pH Test ) วัดถุประสงค์เพื่อหาความสัมพันธ์ระหว่างสภาพการละลายกับค่าพีเอช (pH)
- 3) การศึกษาการละลายที่เป็นพังก์ชั่นกับเวลา (Dynamic Leaching Test) วัดถุประสงค์เพื่อหา ปริมาณสารที่ละลายออกจากก้อนคอนกรีตที่เวลาต่าง ๆ

ตัวแปรดังกล่าวจะใช้เป็นตัวแปรอินพุต (Input) ในการทำงานการละลายและการแพร่กระจายของสาร มลพิษ ซึ่งมีการแพร่กระจาย (Diffusion) แบบไม่มีปฏิกิริยาเคมีเข้ามาเกี่ยวข้อง และแบบเกิดปฏิกิริยาเคมีขึ้นและเกิด

การเคลื่อนที่ การทำนายดังกล่าวต้องอาศัย แบบจำลองการชะ (Leaching Model) [17, 18] ซึ่งสามารถทำนายความเข้มข้นหรือปริมาณสารต่าง ๆ ที่ละลายออกจากก้อนคอนกรีตและแพร่กระจายออกไปกับน้ำที่สัมผัสกับก้อนคอนกรีต ณ เวลา ต่าง ๆ ได้

## 5. สรุปแนวคิด

แม้ว่างานวิจัยเกี่ยวกับ การทำให้เป็นของแข็งและการปรับเสถียรของของเสียโลหะหนักด้วยชีเมนต์เป็นวัสดุประสานมืออย่างแพร่หลาย และในทางเดียวกันการศึกษาคุณลักษณะและบทบาทของสารอิวมิก ในสิ่งแวดล้อม เป็นที่สนใจอย่างมาก หากแต่การศึกษาผลของสารอิวมิกในเดินปนเปื้อนโลหะหนักเป็นพิษภายหลังการบำบัดด้วยการปรับเสถียรและการทำให้เป็นของแข็งในระยะสั้นและระยะยาวก็ยังไม่มีผลรายงานวิจัยเดือย่างใด พบเพียง 2 บทความที่มีส่วนเกี่ยวข้องคือ

- Theodoratos และคณะ [19] รายการใช้จากการทดลองจากการบำบัดน้ำเสียชุมชนผสมกับดินที่ปนเปื้อนด้วย Pb Zn และ Cd พบร่วมสามารถลดการละลายของโลหะทั้ง 3 ชนิดได้
- Hwang และ Batchelor [20] ใช้ปูนชีเมนต์ที่มี Fe(II) เป็นองค์ประกอบปรับเสถียรเดินปนเปื้อนเพื่อรีดิวช์สารออร์แกโนคลอเรนในเดิน พบร่วมสารอิวมิกในเดินไม่ส่งผลต่อปฏิกิริยาเรตอกซ์และการแข็งตัวของชีเมนต์เพสต์

ดังนั้นในงานวิจัยนี้จะศึกษาสมบัติการเป็นสารก่อตัวของกรดอิวมิกกับโลหะหนักในเดินที่ปรับเสถียรด้วยปูนชีเมนต์ และศึกษาอิทธิพลของกรดอิวมิกต่อการคงตัวของโลหะหนักในก้อนคอนกรีตที่มีเดินปนเปื้อน นอกจากนี้ จะสร้างแบบจำลองการชะ (Leaching Model) ที่เป็นเครื่องมือในการทำนายการละลายของโลหะหนักจากก้อนคอนกรีตลงสู่แหล่งน้ำธรรมชาติ โดยจะผนวกการเคลื่อนที่โดยอาศัยการแพร่ (Diffusion) กับการเกิดพันธะของไอออนของโลหะกับการดีไซมิก

## 6. วัตถุประสงค์ของโครงการ

1. ศึกษาอิทธิพลของกรดอิวมิกต่อการคงตัวของโลหะหนักในเดินที่ปนเปื้อนภายหลังการบำบัดด้วยการปรับเสถียรและทำให้เป็นของแข็ง
2. ศึกษาพฤติกรรมในระยะยาว (long term behavior) ของการละลายและการแพร่กระจายของโลหะหนักจากการชะก้อนคอนกรีตด้วยตัวชี้ต่าง ๆ
3. สร้างแบบจำลองการละลายและการแพร่ของโลหะหนักจากก้อนคอนกรีต

## บทที่ 2

### วิธีการทดลอง

#### 1. การเก็บตัวอย่าง

ทำการเก็บตัวอย่างดินปืนจากอู่ซ่อมเรือ ป้อมพระจุลจอมเกล้า กองทัพเรือ จังหวัดสมุทรปราการ โดยทำการขุดคืนที่ระดับความลึก 0-15 ซม. จำนวน 20 จุด รวมน้ำหนัก 5 กก. ผึ่งให้แห้ง บด คลุกเคล้าให้เข้ากัน และแยกเศษรากไม้ และสิ่งแปลกปลอมที่มีขนาดมากกว่า 2 มม. ออกโดยตะกรองร่อน แบ่งดินตัวอย่างออกเป็น 4 ส่วน ดังนี้

ส่วนที่ 1 เรียกว่า Original Soil (OS) นำไปศึกษาสมบัติของดิน

ส่วนที่ 2 นำดินตัวอย่างมาเติมโลหะ Cd Cu Cr Ni Pb Zn เรียกว่า Metal Spiked Soil (MS)

ส่วนที่ 3 นำดินมาเติมกรดอิวมิกในรูปสารละลาย ผสมให้เข้ากัน เก็บในที่มีด 4 วัน ที่อุณหภูมิห้อง เรียกว่า Humic acid added Soil (HS)

ส่วนที่ 4 นำดินมาเติมกรดอิวมิกและโลหะ เก็บในที่มีด 4 วัน ที่อุณหภูมิห้อง เรียกว่า Metal-Humic acid added Soil (MHS)

เก็บดินทั้งหมดในขวดพลาสติกที่อุณหภูมิห้อง โดยไม่ให้โดนแสง

#### 2. การศึกษาสมบัติของดิน การแยกกรดอิวมิกและการหาลักษณะเฉพาะ

ศึกษาสมบัติต่างๆ ของดิน OS ได้แก่ pH, Cation Exchange Capacity (CEC), Organic Carbon Content, ทำการแยกกรดอิวมิกจากดินโดยการสกัดและทำให้บริสุทธิ์ตามวิธีมาตรฐานของ IHSS ศึกษาลักษณะและปริมาณของกรดอิวมิก ด้วยเทคนิคอินฟราเรดสเปกโตรสโคปี ยูวีสีเบิลสเปกโตรโฟโตเมตรี ปริมาณคาร์บอนในໂຕเรjen ออกซิเจน ไอໂຕเรjen สภาพกรรมรวม สภาพการดูดซึมน้ำออกซิเจน สภาพการดูดซึมน้ำออกซิเจน โดยมีวิธีการทดลองดังนี้

##### 2.1 Soil pH

ผสมดินกับสารละลาย  $0.01 \text{ M CaCl}_2$  ในอัตราส่วน 1:5 นาน 5 นาที ทิ้งให้ข่องแข็งนอนก้อน 1 ชั่วโมง และวัด pH ของสารละลาย

##### 2.2 Cation Exchange Capacity (CEC)

บดดิน OS ให้มีขนาดเล็กกว่า 425  $\mu\text{m}$  ชั่งให้มีน้ำหนัก 5 g ผสมกับสารละลาย  $1.0 \text{ M NH}_4\text{OAc}$  (pH 7.0) 25 mL เขย่า 60 นาที เช่นทريฟิวร์ 2,400 rpm นาน 30 นาที แยกสารละลายและดิน กรองสารละลายในขวดปริมาตรขนาด 100 mL ล้างดินที่เหลือด้วยเอทานอล 95 % 20 mL 3 ครั้ง สารละลายที่ล้างเก็บรวมในขวดวัดปริมาตรข้างต้น ปรับปริมาตรและหาปริมาณ Ca, Mg, Na, และ K ด้วยเทคนิค AAS และ หาปริมาณ exchangeable  $\text{H}^+$  ion ด้วยวิธี  $\text{BaCl}_2$  method

### 2.3 Organic Carbon Content

ผสมดิน OS 0.5 g กับสารละลาย 1 N  $K_2Cr_2O_7$  10 mL เติม conc.  $H_2SO_4$  20 mL ตั้งทิ้งไว้ที่ อุณหภูมิห้อง 20-30 นาที เติมน้ำ 20 mL เขย่าให้เข้ากัน เติม ferroin indicator 5 หยด ไห่เทรตด้วยสารละลาย 0.5 N  $FeSO_4$  จนได้สีฟ้าอมน้ำตาล (T mL) ทำสารละลายแบงค์และไห่เทรตด้วยวิธีการเดียวกัน (B mL) คำนวณ Organics Carbon Content ดังสมการ

$$\% C_{org} = (B-T) \times N \times 3 \times 1.14 \times (100/\text{mg oven dried soil})$$

$$\% \text{ Organic matter} = \% C_{org} \times 100/58$$

### 2.3 Heavy Metal Content

ใช้วิธี microwave assisted acid digestion EPA 3051 Part A ตรวจวัดปริมาณโลหะ Cd, Cr, Cu, Pb, Ni, และ Zn ด้วย ICP-AES

### 2.4 การสกัดกรดอิวมิกตามวิธีมาตรฐานของ IHSS

นำดิน OS น้ำหนัก 10 g ใส่ลงในขวดพลาสติกพอลิพีโคน เติมน้ำ 250 mL ปรับ pH ของสารละลายให้อยู่ระหว่าง 1-2 ด้วย 1 M HCl ปริมาตร 5 mL เขย่าของผสมเป็นเวลา 1 ชั่วโมง เช่นทริฟิวจ์ 15 นาที ทิ้งสารละลาย นำดินที่เหลือมาเติม 1 M NaOH และปรับ pH ของสารละลายให้เท่ากับ 7 ด้วย 0.1 M NaOH ปรับปริมาตรของสารละลายให้เท่ากับ 100 mL ผ่านแก๊สในโตรเจนลงในสารละลายนาน 1 นาที ตั้งของผสมทิ้งไว้ 24 ชั่วโมง เช่นทริฟิวจ์แยกสารละลาย ปรับค่า pH ของสารละลายให้เท่ากับ 1 ด้วย 6 M HCl ตั้งทิ้งไว้ 16 ชั่วโมง ผ่านแก๊สในโตรเจนลงในสารละลายนาน 1 นาทีอีกรั้ง เช่นทริฟิวจ์แยกกรดอิวมิกซึ่งเป็นของแข็งสีดำออกมา ทำการดิบอิวมิกที่ได้ให้บริสุทธิ์อีกรั้งโดยการละลายใน 0.1 M KOH และเติม KCl เพื่อให้ได้ 0.3 M  $K^+$  เช่นทริฟิวจ์แยกสารแขวนลอยทิ้งไป นำสารละลายที่เหลือมาเติม 6 M HCl ให้มี pH 1 ตั้งทิ้งไว้ 16 ชั่วโมง เช่นทริฟิวจ์แยกกรดอิวมิก มาก่อนใน 0.1 M HCl/0.3 M HF ละลายของแข็งที่เหลือด้วย 0.1 M NaOH และผสมกับเรซินแลกเปลี่ยนไอออน Dowex-50x ตั้งทิ้งไว้ 15 นาที กรองแยกเรซินออก นำสารละลายที่ได้มา เช่นทริฟิวจ์แยกกรดอิวมิก อบให้แห้งที่ 80°C เก็บในภาชนะปิดสนิท เรียกกรดที่มีกีฟ์ได้ว่า SHA

### 2.5 สภาพกรรมรวม สภาพกรดคาร์บอนอகซิล สภาพกรดไฮดรอกซี

ทดสอบกรดคาร์บอนอகซิล : ผสม SHA 20 mg กับ 0.2 N  $Ca(OAc)_2$  ปริมาตร 10 mL เติมน้ำกลิ้น ปราศจากแก๊ส  $CO_2$  จำนวน 40 mL เขย่านาน 24 ชั่วโมง ไห่เทรตด้วยวิธีวัด pH กับ 0.1 M NaOH ที่จุดสมมูล pH เท่ากับ 9

ทดสอบกรดไฮดรอกซี : ผสม SHA 20 mg กับ 0.2 N  $Ba(OH)_2$  ปริมาตร 10 mL ผ่านแก๊สในโตรเจนลงในสารละลายนาน 1 นาที เขย่านาน 24 ชั่วโมง ไห่เทรตด้วยวิธีวัด pH กับ 0.2 M HCl ที่จุดสมมูล pH เท่ากับ 8.4

## 2.6 ปริมาณแท้

ชั้งกรดอิวมิก 0.2 g ใส่ในอุปกรณ์เผาตากันน้ำ นำไปเผาอุณหภูมิ  $500^{\circ}\text{C}$  นาน 4 ชั่วโมง ทิ้งครุภัณฑ์ให้เย็น ชั้งน้ำหนักอีกครั้ง ล้วนด่างของน้ำหนักคือปริมาณแท้

## 3. การศึกษา adsorption isotherm

ศึกษาความสามารถของการเกิดสารเชิงช้อนหรือความสามารถในการดูดซับของกรดอิวมิกที่สกัดได้กับ “ไอออน” ของโลหะ Cd Cu Cr Pb Ni และ Zn โดยวิธี adsorption isotherm โดยผสมดิน OS 25 g กับสารละลาย โลหะผสมทั้ง 6 ชนิดที่ความเข้มข้น 0-125 mg/L ในสารละลาย  $\text{KNO}_3$  0.25 mol/L ( $I = 0.25$ ) ดังตารางที่ 2-1 เขย่าที่  $210 \text{ rpm}$  นาน 1 ชั่วโมง เช่นที่รีฟิวส์ 2,500 rpm นาน 25 นาที กรองสารละลาย และหาปริมาณของโลหะในสารละลาย ทำการทดลองในกำลังเดียวกันโดยใช้ HS ที่มีริมาณ HA เท่ากับ 0.25 และ 5.0 %w/w

ตาราง 2-1 ปริมาณโลหะที่เติมใน OS และ HS ( $n=2$ )

Batch number	Concentration of each metal spiked to soils (mg/L)	Amount of each metal (mg) in 25 g soil sample	Amount of each metal spiked to soil sample (mg/kg)
1	0.000	0.000	0.00
2	8.333	0.625	25.00
3	16.666	1.250	50.00
4	33.332	2.500	100.00
5	66.664	5.000	200.00
6	125.00	9.375	375.00

## 4. การปรับเปลี่ยน

ศึกษาอัตราส่วนผสมก้อนของแม็งซีเมนต์-ดินปนเปื้อน เลือกอัตราส่วนที่ให้ค่าการรับแรงอัดสูงที่สุด ทำการหล่อคอนกรีต 4 ชุด คือ ดินปนเปื้อน (S-OS) ดินปนเปื้อนที่เติมโลหะหนัก (S-MS) ดินปนเปื้อนที่เติมสารอิวมิก อ้างอิง (S-HS) และดินปนเปื้อนที่เติมสารอิวมิกอ้างอิงและโลหะหนัก (S-MHS) โดยทำการหล่อในแบบที่มีขนาด  $5.3 \times 6.0 \times 4.6 \text{ cm}^3$  ทึ้งให้ข่องผสมแข็งตัว 28 วัน และทำการวัดสมบัติเชิงกายภาพของก้อนของแม็งดังตาราง 2-2

## 5. การทดสอบการละลาย

### 5.1 หาปริมาณของโลหะหนักใน pore water ของก้อนของแม็งปรับเปลี่ยน

บดก้อนของแม็งปรับเปลี่ยนที่มีขนาดเล็กกว่า 1 mm ผสมของแข็งกับน้ำประปาจาก “ไอออน” ในอัตราส่วน Liquid to Solid (L/S) เท่ากับ 200, 100, 50, 10, 2, and 1 mL/g ดังตาราง 2-3 ในภาชนะปิดสนิท

เขย่าของผสมที่อุณหภูมิ  $25 \pm 1^{\circ}\text{C}$  นาน 7 วัน กรองสารละลายน้ำด้วยกระดาษกรอง Whatman no.42 วัด pH และ หาปริมาณโลหะ Ca, Na, Cd, Cr, Cu, Pb, Ni, and Zn ในสารละลายน้ำด้วยเครื่อง ICP-AES

ตาราง 2-2 สมบัติเชิงกายภาพและวิธีการวัด

Physical properties	Method /Description
Density ( $\text{kg m}^{-3}$ )	Ratio of weight of solidified block to bulk volume
Bulk volume ( $\text{cm}^3$ )	Apparent volume
Moisture content (%)	Loss of water during oven drying at $105^{\circ}\text{C}$ for 2 h, ratio of mass of water (g) to mass of concrete
Specific surface area ( $\text{m}^2$ )	Contact surface areas of concrete block
Water absorption capacity, WAC (%)	Amount of water ( $\text{cm}^3$ ) sorbed into the solidified matrix to its solid mass, performed by immersing a monolith in deionized water ( $L/S=20$ ) for 14 days.
Pore volume ( $\text{cm}^3/\text{block}$ )	Volume of voids = bulk volume to volume of sorbed water ratio
Porosity	Pore volume to bulk volume ratio

ตาราง 2-3 Liquid to solid (L/S) ratio, volume of deionized water and weight of crushed material used

Batch Number (n=2)	Liquid to solid (L/S) ratio (v/w)	Volume of deionized water (mL)	Weight of solidified materials (g)
1	200	50	0.25
2	100	50	0.50
3	50	50	1.00
4	10	50	5.00
5	2	50	25.00
6	1	50	50.00

## 5.2 หาความสัมพันธ์ระหว่าง pH ของน้ำและปริมาณการถูกชั่งของโลหะหนักแต่ละชนิด

บดก้อนของแข็งปรับเส้นยิร (S-OS และ S-HS (5%w/w HA added)) ให้มีขนาดเล็กกว่า 1 mm ซึ่ง ของแข็ง 5.0 g ใส่ในขวดพอลิเอทิลีนขนาด 75 mL เติมกรดในทริก 2 mol/L ปริมาตร 25 mL เติมกรดในทริก 0.5 mol/L หรือสารละลายน้ำเดียวไฮดรอกไซด์ 0.5 mol/L ปรับปริมาตรสุดท้ายของสารละลายน้ำกับ 50 mL ( $L/S = 10$ ) โดยปรับ pH ของสารละลายน้ำให้มีในช่วง 3 – 12 เขย่าของผสม 30 นาที ทิ้งสารละลายน้ำให้เข้าสู่สมดุล 7 วัน กรองสารละลายน้ำด้วยกระดาษกรอง Whatman no.42 วัด pH และหาปริมาณโลหะ Ca, Na, Cd, Cr, Cu, Pb, Ni, and Zn ในสารละลายน้ำด้วยเครื่อง ICP-AES

### 5.3 ศึกษาการชะด้วยสารละลายน้ำก้อนของแข็งปรับเสถียร S-MS ( $1,500 \text{ mg kg}^{-1}$ metals added soil) ออกจากแบบหลังจากบ่มไว้ 28 วัน แซ่ก้อนของแข็งในสารละลายน้ำต่างๆ (leachant) ชนิดและความเข้มข้นของสารละลายน้ำต่างๆ แสดงดังตารางที่ 2-4 โดยให้มีอัตราส่วนของปริมาณสารละลายน้ำต่อพื้นที่ผิวของก้อนของแข็งเท่ากับ $3.0 \text{ m}^3/\text{m}^2$ ในภาชนะที่ทำด้วย PET ขนาด 1.5 ลิตร วัด pH เริ่มต้นของสารละลายน้ำเปลี่ยนสารละลายน้ำหลังจากเวลา 8, 16, 24, 72 ชั่วโมง, 1, 3 สัปดาห์ และทุกๆ เดือนจนกระทั่งเวลารวมทั้งหมดเท่ากับ 100 วัน (ดังตาราง 2-5) เก็บสารละลายน้ำจากการเปลี่ยนถ่ายแต่ละครั้ง กรองสารละลายน้ำด้วยกระดาษกรอง Whatman no.42 วัด pH และหาปริมาณโลหะ Ca, Na, Cd, Cr, Cu, Pb, Ni, and Zn ในสารละลายน้ำด้วยเครื่อง ICP-AES

ตาราง 2-4 Types and concentrations of leachant taken into account for influence of contact time on S-MS samples

Type of leachant	$\text{KNO}_3 (\text{molL}^{-1})$	AcOH solution ( $\text{molL}^{-1}$ )				HA solution ( $\text{mgL}^{-1}$ )				
Concentration	0.25	0.05	0.10	0.20	2.0	10	20	40	200	400

ตาราง 2-5 Leaching time of each period and cumulative of contact time for batch leaching test of S-MS (monoliths) in an unsealed PET bottle (h: hour, d: day, w: week, m: month)

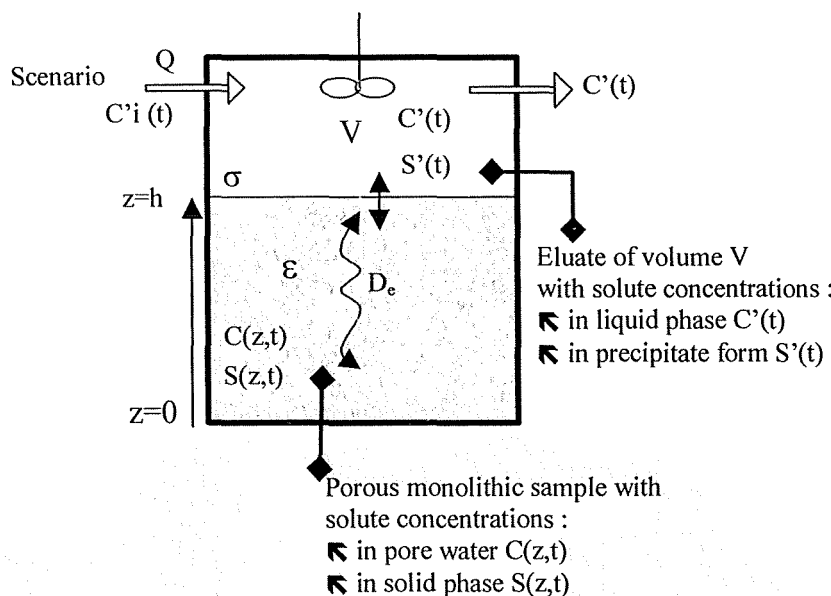
Period	1	2	3	4	5	6	7	8	9
Leaching time	8 h	16h	24h	3d	1w	1w	3w	1m	1m
Cumulative time (days)	0.25	1	2	5	12	19	40	70	100

### 5.4 ศึกษาการชะด้วย TCLP

TCLP หรือ Toxicity Characteristic Leaching Procedure ซึ่งเสนอโดย US EPA มีวิธีการสกัดคือ นำของแข็งปรับเสถียรตัวอย่าง (S-OS, S-MS, S-HS, and S-MHS) ที่บดให้มีขนาดเล็กกว่า  $9.5 \text{ mm}$  มาขนาด  $25 \text{ g}$  ใส่ในขวดพลาสติกขนาด  $500 \text{ mL}$  เติมสารละลายน้ำดีซิก 0.1 M ( $\text{pH } 2.88 \pm 0.05$ ) ปริมาตร  $500 \text{ mL}$  ปิดฝาให้สนิท ผสมให้เข้ากันตั้งไว้ 1 อาทิตย์ และนำไปเขย่าด้วยเครื่องเขย่าด้วยความเร็ว 30 รอบต่อนาที เป็นเวลา 18 ชั่วโมง หลังจากนั้นกรองสารละลายน้ำผ่านแมมเบรนไนแก้วขนาด  $0.2 \mu\text{m}$  นำสารละลายน้ำที่เป็นกรดที่ pH ต่ำกว่า 2 ด้วยกรดในทริก 65 % เพื่อนำไปวิเคราะห์หาปริมาณโลหะทั้ง 6 ชนิดในน้ำด้วยเทคนิค AAS หรือ ICP-AES ผลการทดลองแสดงดังรูปที่ 3-22

## 6. แบบจำลองการชะลอลาย (leaching model)

เลือกใช้แบบจำลองการชะลอลาย (leaching model) ของไออ่อนในตัวกลางที่มีความพรุนโดยอาศัยกฎข้อที่ 2 ของ Fick ผูกไว้กับปฏิกิริยาเคมีที่เกิดขึ้น ดังรูปที่ 2-1



รูปที่ 2-1 แบบจำลองการชะลอลาย [21]

ไออ่อนที่พิจารณาคือ  $\text{Ca}^{2+}$ ,  $\text{Na}^+$ ,  $\text{K}^+$ ,  $\text{Cl}^-$  และ โลหะหนัก โดยมีสมมติฐานคือ

- การชะลอลายของ  $\text{Na}^+$ ,  $\text{K}^+$ ,  $\text{Cl}^-$  เกิดจากการแพร่ (diffusion)
- การชะลอลายของ  $\text{Ca}^{2+}$  เกิดจากสมดุลการละลายของ Portlandite และการเคลื่อนที่ด้วยการแพร่ใน pore solution
- การชะลอลายของโลหะหนัก เกิดจากสมดุลการละลายและการเคลื่อนที่ด้วยการแพร่ใน pore solution
- สมดุลการละลายเกิดเร็วกว่าการเคลื่อนที่ นั่นคือสมดุลเกิดที่ทุกๆ เวลาและระยะทางที่ไออ่อนเคลื่อนที่ผ่าน
- pH ของสารละลายได้จากการคำนวณ ณ เวลาใดๆ ทั้งใน pore solution และสารละลายภายนอกก้อนของแข็ง (eluate) โดยคำนวณจากสมการสมดุลประจุ (electroneutrality equation)
- Debye-Hückel activity model ใช้คำนวณ thermodynamic equilibrium ใน pore solution และ eluate.

ก้อนของแข็ง (มีความพรุน) มีความเข้มข้นของไออ่อนในสารละลายในรูพรุนเท่ากับ  $C(x,t)$  และในของเฟสของแข็งเท่ากับ  $S(x,t)$  สเปชีสเดียวกันปรากฏใน eluate ด้วยความเข้มข้น  $C'(t)$  และ  $S'(t)$  สารละลาย eluate มีการคนและให้เวียนต่อเวลา (steady or renewed (flow rate  $Q$  or sequential renewal)) และความเข้มข้นของสเปชีสที่ให้ผ่านเข้ามาเท่ากับ  $C'(t)$ .

ในก้อนของแม็ง สเปชีส์ที่ละลายได้เคลื่อนที่ผ่านสู่สารละลายภายนอกจากผลของ concentration gradient ในแนวแกน  $x$  และเกิดการละลาย/ตกตะกอนด้วยสมดุลเคมี ดังสมการ

$$\frac{\partial C}{\partial t} = D \frac{\partial^2 C}{\partial x^2} - \frac{\partial S}{\partial t} \quad (2-1)$$

เมื่อ  $D$  คือ diffusion coefficient of the considered element

boundary conditions เป็นดังนี้

- ที่ใจกลางของก้อนของแม็ง ( $x=0$ ):

$$\frac{\partial C}{\partial x} \Big|_{x=0} = 0 \quad (2-2a)$$

- ที่รอยต่อ eluate/material interface ( $x=h$ ):

$$D \frac{\partial C}{\partial x} \Big|_{x=h} = k_t (C' - C \Big|_{x=h}) \quad (2-2b)$$

เมื่อ  $k_t$  (m/s) คือ mass transfer coefficient ระหว่าง eluate กับ pore water ที่รอยต่อ

kinetic equations (2-3) ถูกพนวกเข้ากับสมการข้างต้น

$$\begin{cases} \frac{dS}{dt} = k(C - C_{eq}) & \text{if } S > 0 \text{ or } (S = 0 \text{ and } C > C_{eq}) \\ \frac{dS}{dt} = 0 & \text{if not} \end{cases} \quad (2-3)$$

ในหน้าชาะ (eluate) ปริมาณสเปชีส์ต่างๆ ถูกกำหนดด้วยฟลักซ์ (flux) จากก้อนของแม็ง จากการเคลื่อนที่ออกมา (flow rate  $Q$ ) และเกิดสมดุลการละลาย จะได้

$$\frac{dC'}{dt} = \frac{k_t \phi A}{V} (C|_h - C') - \frac{dS'}{dt} - \frac{Q}{V} (C' - C'_{eq}) \quad (2-4)$$

$$\begin{cases} \frac{dS'}{dt} = k(C' - C'_{eq}) & \text{if } S' > 0 \text{ or } (S' = 0 \text{ and } C' > C'_{eq}) \\ \frac{dS'}{dt} = 0 & \text{if not} \end{cases} \quad (2-6)$$

$C_{eq}$  and  $C'_{eq}$  are the saturation concentrations of pore-solution and leachate.

สมการสมดุลประจุ (electroneutrality equation) 2 สมการ (2-7) ถูกเพิ่มในไฟล์ของเหลว

$$\begin{aligned} \sum z_+ C_+ + C_H^+ &= \sum z_- C_- + C_{OH}^- \\ \sum z_+ C'_+ + C'_H^+ &= \sum z_- C'_- + C'_{OH}^- \end{aligned} \quad (2-7)$$

กำหนดให้ kinetic constant  $k$  (mol/m<sup>3</sup>s) มีค่าสูงมาก ฟลักซ์เกิดจากการแพร่เท่านั้น ถ้า  $C \geq C_{eq}$  สารละลายอิ่มตัว ยิ่งบวดและเกิดจากตกตะกอนกันที่ ถ้า  $C < C_{eq}$  ของแม็ง (ถ้ามี) ละลายกันที่

สมการทั้งหมด (partial-differential-equation system) เขียนและรันด้วยโปรแกรม MATLAB

ผลักซ์ของสปีชีส์ใดๆ ( $\text{mmol}/\text{m}^2 \text{ s}$ ) พลอตกราฟกับเวลา  $T_i$  (leaching sequence) ดังนี้

$$T_i = \left[ \frac{\sqrt{t_i} + \sqrt{t_{i+1}}}{2} \right]^2 \quad (2-8)$$

### บทที่ 3

#### ผลการทดลองและบทวิจารณ์

##### 1. สมบัติเชิงพิสิกส์และเคมีของดิน

เก็บตัวอย่างดินป่าเป็นโลหะหนักจากอู่ซ่อมเรือ บ้านพระจุลจอมเกล้า กองทัพเรือ จังหวัดสมุทรปราการ ที่ระดับความลึก 0-15 cm น้ำหนักร่วม 10 กิโลกรัม นำมาฝังลมให้แห้ง ผสมและบดให้มีขนาด เล็กกว่า 2 mm ย่อยด้วยกรดและ วิเคราะห์หน่วยโลหะ Cd Cu Cr Pb Ni และ Zn โดยเทคนิค AAS และ ICP-AES ได้ผลดังนี้

ตารางที่ 3-1 ปริมาณโลหะที่พบในดิน

โลหะ	ค่าเฉลี่ย g/kg (n=6)	s.d.	พิสัย, g/kg
Cd	4.45	6.58	1.3-17.9
Cu	27.72	3.21	24.8-32.0
Cr	42.32	5.29	36.7-48.8
Ni	33.70	7.38	28.6-44.4
Pb	48.61	8.24	40.4-59.6
Zn	82.75	6.45	76.4-91.3

ตารางที่ 3-2 สมบัติเชิงพิสิกส์และเคมีของดิน

สมบัติ	ค่า	สมบัติ	ค่า
Soil Water content (%)	6.8	CEC (me/100g)	10.1
Soil texture	clay loam	Bulk density ( $\text{g cm}^{-3}$ )	0.95
pH	7.34	Particle density ( $\text{g cm}^{-3}$ )	1.1
Lime potential	6.2	Total organics C ( $\text{g kg}^{-1}$ )	2.1
Organic Carbon (%)	1.5	Loss on ignition (%)	
Organic matter (%)	3.7	LOI-1 at $480^\circ \text{C}$	63.4
Humic acid (%)	0.38	LOI-2 at $1,100^\circ \text{C}$	18.8

##### 2. การแยกกรดอิควิวิคและการหาลักษณะเฉพาะ

ทำการแยกกรดอิควิวิคจากดินโดยการสกัดและทำให้บริสุทธิ์ตามวิธีมาตรฐานของ IHSS พบว่าดินตัวอย่าง มีกรดอิควิวิค 0.38 % w/w และศีกษาคุณลักษณะ ได้ผลดังตารางที่ 3-3

ตารางที่ 3-3 ลักษณะของกรดสิมิกที่สกัดได้จากดินตัวอย่าง

ปริมาณ C	41.8 %	สภาพกรดรวม	7.7 me/g
ปริมาณ H	4.03 %	สภาพกรดการ์บอคซิล	1.1 me/g
ปริมาณ N	0.48 %	สภาพกรดไฮดรอกซี	6.6 me/g
% ash content	21.1 %		
FTIR spectra	$3397 \text{ cm}^{-1}$ (OH) $2913 \text{ cm}^{-1}$ (aliphatic CH) $1680 \text{ cm}^{-1}$ (C=C, C=O) $1060 \text{ cm}^{-1}$ (C-O)		
Absorption ratio (465 และ 665 nm by UV-Vis)	0.85 (pH 4) และ 0.96 (pH 11)		

### 3. การศึกษา adsorption isotherm

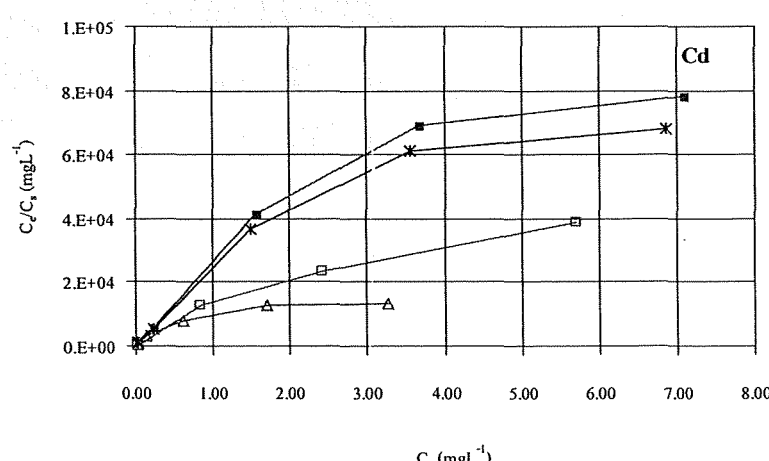
การศึกษาไอโซเทอร์มการดูดซับ (adsorption isotherm) ทำการทดลองที่ L/S เท่ากับ 3 นาน 24 ชั่วโมง Langmuir adsorption isotherm ตามสมการที่ 3-1

$$\frac{C_e}{C_s} = \frac{C_e}{C_0} + \frac{I}{bC_0} \quad (3-1)$$

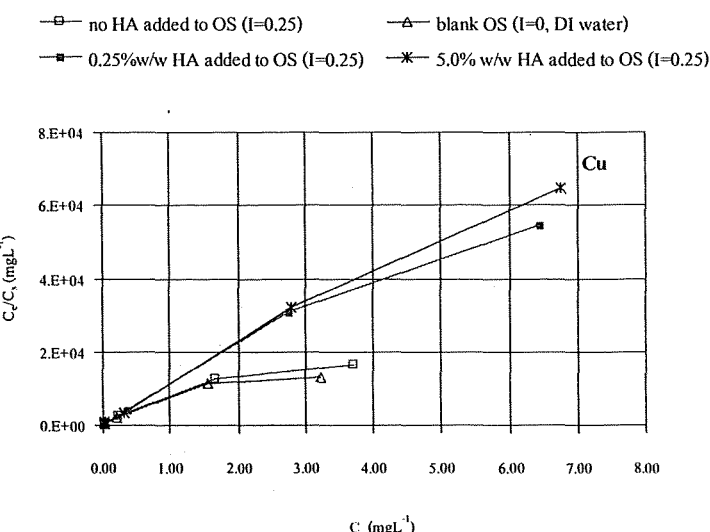
เมื่อ  $C_e$  คือความเข้มข้นของโลหะที่สมดุล (mg/L)  
 $C_s$  คือปริมาณโลหะที่ดูดซับบนของแข็ง (mg/mg)  
 $C_0$  คือปริมาณโลหะสูงสุดที่ดูดซับได้บนของแข็ง (mg/g)  
 $b$  ค่าคงที่ของแรงเมียร์ (L/mg)

เมื่อผลลัพธ์ระหว่าง  $C_e/C_s$  กับ  $C_e$  ของโลหะแต่ละชนิดได้ดังรูปที่ 3-1 (a-f)

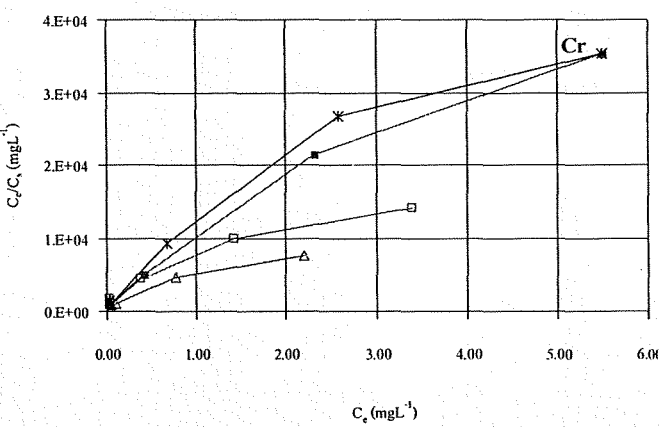
—□— no HA added to OS ( $I=0.25$ )      —△— blank OS ( $I=0$ , DI water)  
 —■— 0.25% w/w HA added to OS ( $I=0.25$ )      —\*— 5.0% w/w HA added to OS ( $I=0.25$ )



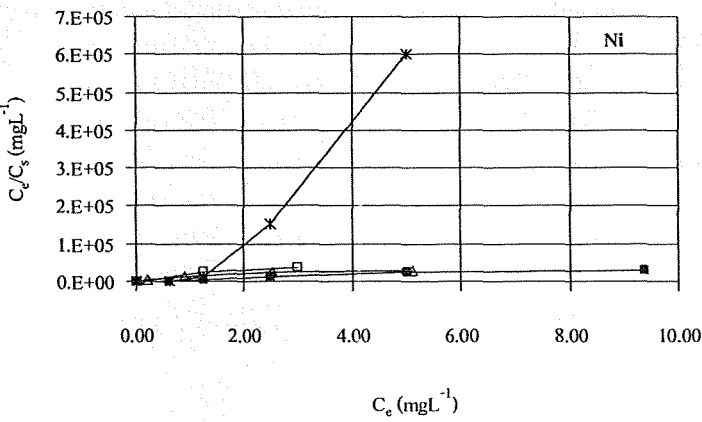
รูปที่ 3-1 (a) Langmuir isotherm of adsorption of Cd onto soil samples at 25 °C



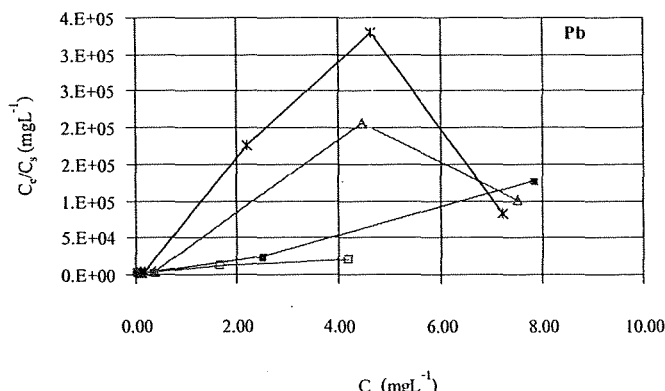
รูปที่ 3-1 (b) Langmuir isotherm of adsorption of Cu onto soil samples at 25 °C



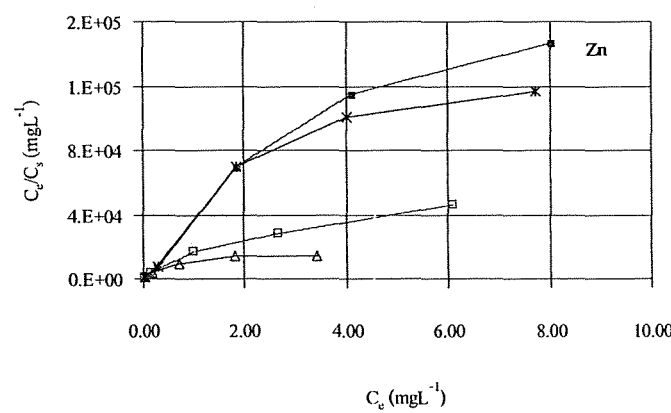
รูปที่ 3-1 (c) Langmuir isotherm of adsorption of Cr onto soil samples at 25 °C



รูปที่ 3-1 (d) Langmuir isotherm of adsorption of Ni onto soil samples at 25 °C

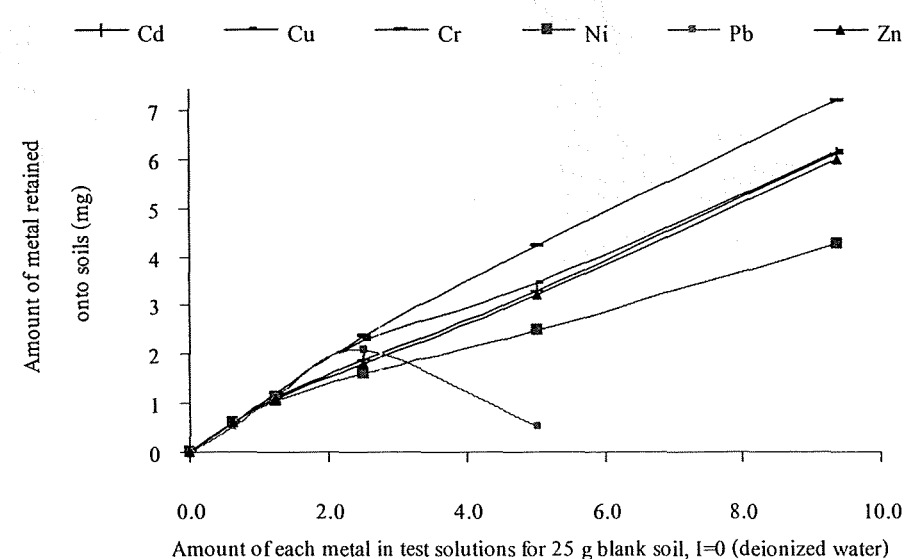


รูปที่ 3-1 (e) Langmuir isotherm of adsorption of Pb onto soil samples at 25 °C

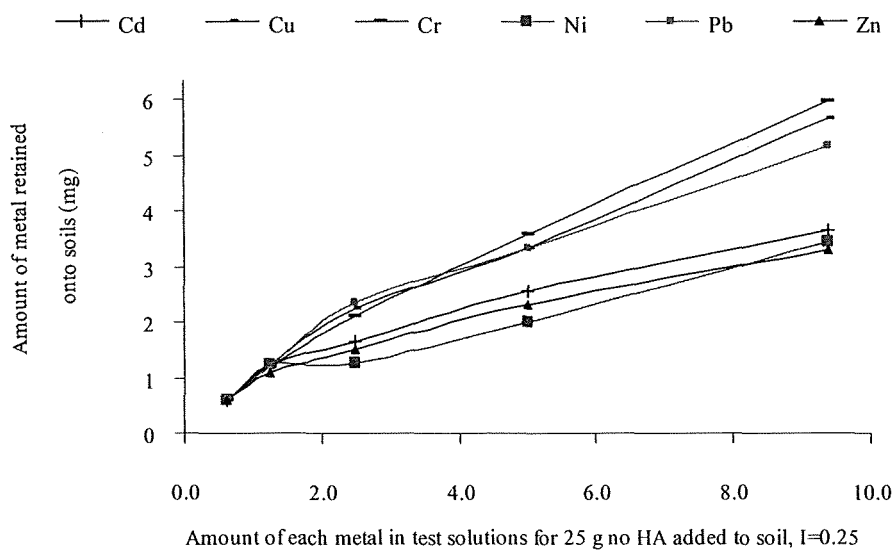


รูปที่ 3-1 (f) Langmuir isotherm of adsorption of Zn onto soil samples at 25 °C

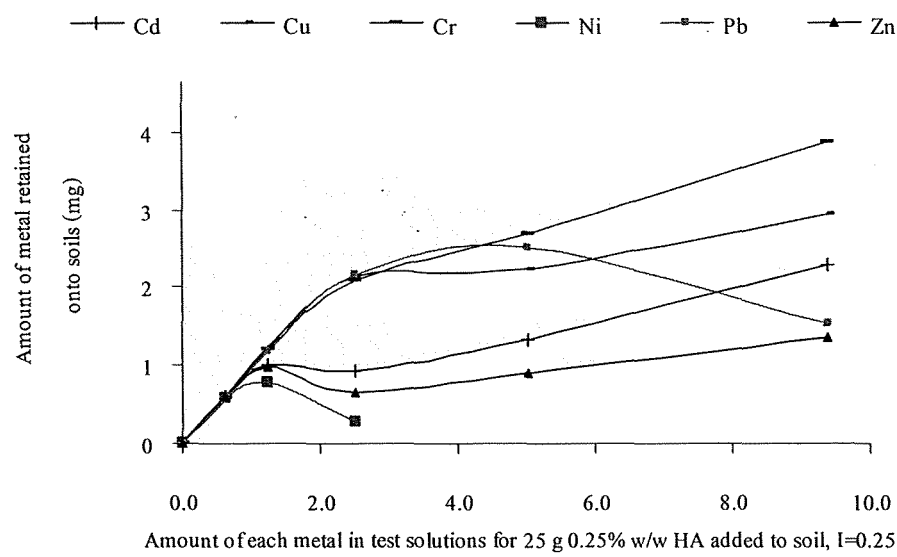
เมื่อผลลัพธ์ระหว่างปริมาณโลหะที่ดูดซับ (mg) บนดิน 25 g ได้ดังรูปที่ 3-2



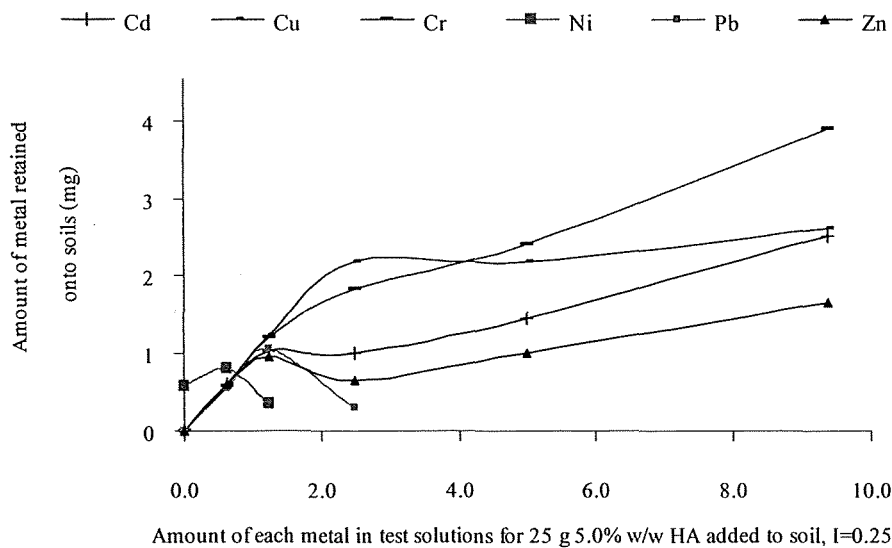
รูปที่ 3-2 (a) ปริมาณโลหะที่ดูดซับ (mg) บนดิน OS 25 g สารละลายน้ำตัวกลางคือน้ำ DI



รูปที่ 3-2 (b) ปริมาณโลหะที่ดูดซึบ (mg) บนดิน OS 25 g สารละลายน้ำตัวกลางคือ  $\text{KNO}_3$



รูปที่ 3-2 (c) ปริมาณโลหะที่ดูดซึบ (mg) บนดิน HS (0.25 %w/w) 25 g สารละลายน้ำตัวกลางคือ  $\text{KNO}_3$



รูปที่ 3-2 (d) ปริมาณโลหะที่ดูดซับ (mg) บนดิน HS (5 %w/w) 25 g สารละลายน้ำกลางคือ  $\text{KNO}_3$

การดูดซับของ Cd Cu Cr และ Zn เป็นแบบแอลเมียร์ที่ความเข้มข้นของโลหะต่ำ ซึ่งเป็นการดูดซับเชิงกาวยภาพแบบชั้นเดียว (monolayer) [22] ส่วนการดูดซับของ Ni และ Pb แตกต่างออกไป พบว่าการดูดซับเกิดได้สูงสุดเมื่อความเข้มข้นของโลหะเท่ากับ  $66.67 \text{ mg/L}$  ( $5 \text{ mg Ni}$  และ  $\text{Pb}$  per  $25\text{g soil}$ ) สำหรับ  $0.25$  และ  $5.0 \text{ \% w/w HS-KNO}_3$

พิจารณาการดูดซับของตะกั่ว จากรูป 3-1 (e) และรูป 3-2 พบว่า การดูดซับของตะกั่วน O<sub>S</sub>-KNO<sub>3</sub> เพิ่มขึ้น เมื่อความเข้มข้นของตะกั่วในสารละลายน้ำเพิ่มขึ้น ปริมาณสูงสุดที่ตะกั่วดูดซับได้เท่ากับ  $2.1$ ,  $2.5$  และ  $1.1 \text{ mg}$  สำหรับดิน O<sub>S</sub>,  $0.25$  และ  $5.0 \text{ \% w/w HS-KNO}_3$  ( $25 \text{ g}$ ) ตามลำดับ เมื่อความเข้มข้นของตะกั่วในสารละลายน้ำเพิ่มขึ้นทำให้การดูดซับตะกั่วลดลง อาจเป็นผลมาจากการที่ความเข้มข้นสูง ตะกั่วเกิดเป็นสารเชิงซ้อนกับกรดธิวมิกและมีการละลายที่สูงขึ้น จึงดูดซับได้น้อยลง

เมื่อพิจารณาสมการของฟรุนเดลิช (Freundlich equation) ดังสมการที่ 3-2

$$C_s = x/m = K_F C_e^{1/n} \quad (3-2)$$

เมื่อ  $C_e$  คือความเข้มข้นของโลหะที่สมดุล ( $\text{mg/L}$ )

$C_s$  คือปริมาณโลหะที่ดูดซับบนแขวงแข็ง ( $\text{mg/mg}$ )

$K_F$  ค่าคงที่ของฟรุนเดลิช

ถ้า  $n = 1$ ,  $K_F$  สามารถแทนได้ด้วย  $K_d$  จะได้ว่า

$$K_d = C_s/C_e \quad (3-3)$$

การประมาณค่า distribution coefficient  $K_d$  ( $\text{L mg}^{-1}$ ) อยู่บนสมมติฐานที่ว่าความเข้มข้นของโลหะต่ำ และสมดุลการดูดซับเกิดได้ในเวลา  $24 \text{ ชั่วโมง}$

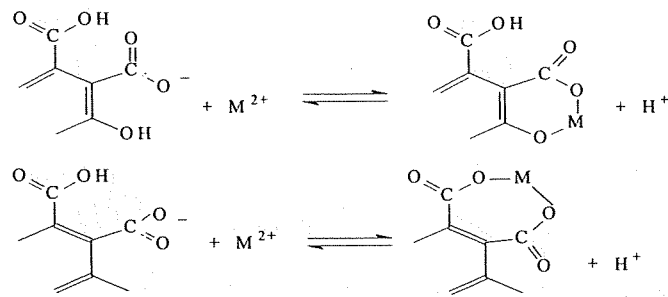
จากสมการของฟรุนเดลิช สามารถหาค่า  $K_d$  ได้ดังตาราง 3-4 ค่า  $K_d$  ของ Cd และ Cu ในดิน O<sub>S</sub>-KNO<sub>3</sub> ลดลงอย่างมีนัยสำคัญเมื่อเปรียบเทียบกับดิน  $0.25$  และ  $5.0 \text{ \% w/w HS-KNO}_3$  ในขณะที่ค่า  $K_d$  ของ Cr Ni Pb และ Zn ไม่แตกต่างกันในดินแต่ละชนิด

ตาราง 3-4 soil distribution coefficient,  $K_d$  under various soil sorbents

Sorbents	$K_d$ ( $\times 10^{-3}$ L mg $^{-1}$ )					
	Cd	Cu	Cr	Ni	Pb	Zn
OS-deionized water	9	9	6	6	13	13
OS-KNO <sub>3</sub>	20	20	6	7	9	9
0.25% w/w HS-KNO <sub>3</sub>	7	7	7	6	11	11
5.0 % w/w HS-KNO <sub>3</sub>	8	8	6	7	8	8

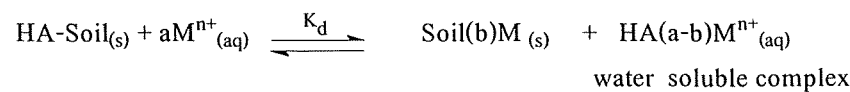
ปริมาณโลหะที่ดูดซับบนดินคืออยู่ เพิ่มขึ้นอย่างช้าๆ และมีแนวโน้มคงที่เมื่อความเข้มข้นของโลหะในสารละลายเพิ่มขึ้น เนื่องจากคิดเริ่มอิ่มตัวด้วยโลหะ ซึ่งมีค่าไกล์เคียงกับค่า CEC ที่ pH ที่ศักษา ซึ่งแสดงให้เห็นว่า เกิดสมดุลการดูดซับขึ้นในระบบ

ความสัมพันธ์ของกรดอิวมิกและสารอินทรีย์ในดินในสารละลายตัวกลาง KNO<sub>3</sub> 0.25 mol/L กับ ความสามารถในการดูดซับ สำหรับดิน OS และ OS-KNO<sub>3</sub> มีความสามารถในการดูดซับโลหะสูงกว่า HS เนื่องจากการอิวมิกเกิดสารเชิงช้อนกับไอออนของโลหะที่ละลายน้ำได้ดังรูป 3-3



รูปที่ 3-3 Postulated reactions between M<sup>2+</sup> และ humic acid function groups influencing a water-soluble complexation [44]

เมื่อดินมีกรดอิวมิกมากขึ้น ค่า  $K_d$  ของดินกับโลหะส่วนใหญ่ลดลง เพราะเกิดสารเชิงช้อนที่ละลายน้ำ ดังรูปที่ 3-4



เมื่อ mole of metal ions (a > b), M<sup>n+</sup> : metal ion with n charge

รูปที่ 3-4 สมดุลการดูดซับและการละลายของสารเชิงช้อนโลหะ-กรดอิวมิก

#### 4. การปรับน้ำเสียร

ศึกษาอัตราส่วนผสมก้อนของแข็งชีเมนต์-ดินปนเปื้อน เลือกอัตราส่วนที่ให้ค่าการรับแรงอัดสูงที่สุด ทำการหล่อของแข็งปรับน้ำเสียร 4 ชุด คือ ดินปนเปื้อน ดินปนเปื้อนที่เติมโลหะหนัก ดินปนเปื้อนที่เติมสารเคมีกอ้างอิง และดินปนเปื้อนที่เติมสารเคมีกอ้างอิงและโลหะหนัก

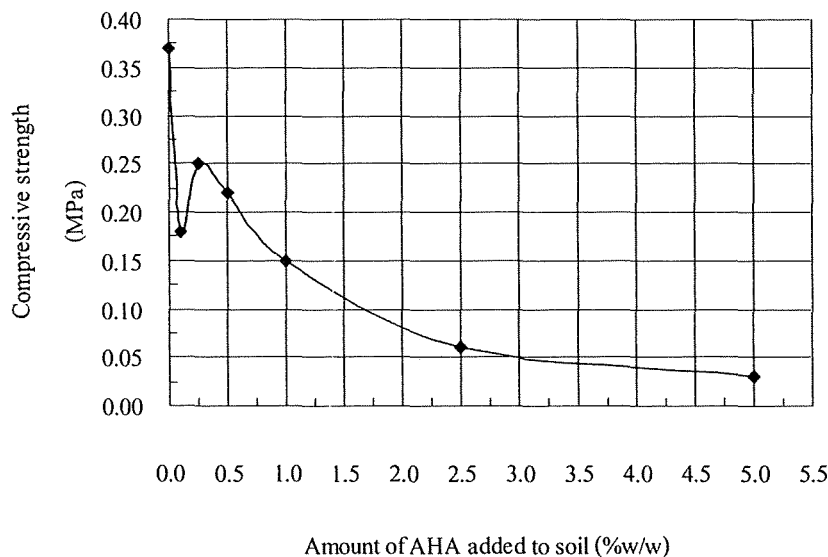
ทำการศึกษาอัตราส่วนของแข็งชีเมนต์-ดินปนเปื้อนทั้งหมด 5 อัตราส่วนดังตารางที่ 4 โดยอัตราส่วนชีเมนต์ต่อดิน (C/S) เป็น 1:1 1:1.5 1:2 1:3 1:4 และ 1:5 ทำการหล่อของแข็งปรับน้ำเสียรในแบบขนาด 53-mm x 60-mm x 46-mm ทึ่งให้แข็งตัวเป็นเวลา 28 วัน แล้วถอดออกจากแบบ นำก้อนของแข็งมาวัดค่าการรับแรงอัด ได้ผลดังตารางที่ 3-5

ตารางที่ 3-5 ค่าการรับแรงอัด (compressive strength) ของของแข็งปรับน้ำเสียร

Batch number	Water (% w/w)	Cement to soil (C/S) ratio	Weight of concrete (g)	Compressive strength, (MPa)
1	40	1/1	228.9	1.16
2	44	1/1.5	219.4	1.03
3	47	1/2	195.5	0.59
4	55	1/3	193.8	0.19
5	55	1/4	189.5	0.19

จากตารางที่ 3-5 พบว่าก้อนของแข็งที่ 1 และ 2 ให้ค่าการรับแรงอัดมากกว่า 1 MPa ซึ่งเป็นค่าที่สูงพอที่ ก้อนของแข็งสามารถนำไปฝังกลบ หรือทำใช้ในทางวิศวกรรมโยธาได้ แต่ของแข็งปรับน้ำเสียรชุดที่ 2 มีอัตราส่วน C/S สูงกว่า จึงเลือกอัตราส่วนนี้ในการเตรียมของแข็งปรับน้ำเสียรชุดอื่นๆ สำหรับการทดลองต่อไป

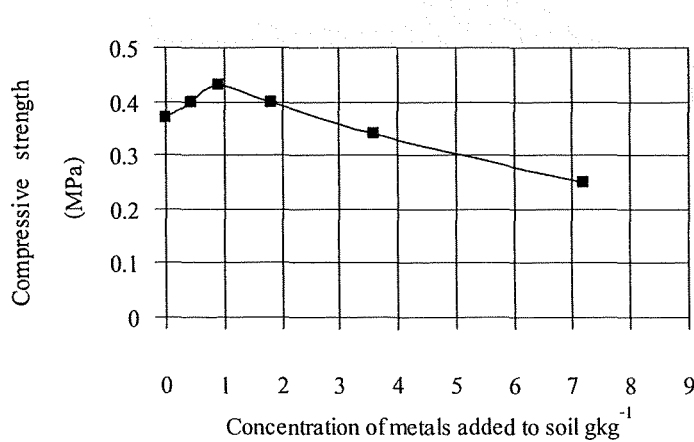
ศึกษาผลของปริมาณการดีไซมิกต่อการรับแรงอัดของก้อนของแข็ง ทำการหล่อ ก้อนของแข็งโดยการเติม กรณดีไซมิกที่อัตราส่วน (%w/w) ต่างๆ ดังแต่ 0.1 – 5.0 % ทำการหล่อของแข็งปรับน้ำเสียรในแบบขนาด 53-mm x 60-mm x 46-mm ทึ่งให้แข็งตัวเป็นเวลา 28 วัน แล้วถอดออกจากแบบ นำก้อนของแข็งมาวัดค่าการรับแรงอัด ได้ผลดังรูปที่ 3-5



รูปที่ 3-5 ค่าการรับแรงอัดของของแข็งปรับเสถียร ที่อัตราส่วนต่างๆ ของการดีเมิร์ฟิกที่เติม

จากรูปที่ 3-5 พบว่าการเติมกรดดีเมิร์ฟิกมีผลทำให้ค่าการรับแรงอัดของของแข็งปรับเสถียรลดลง ประมาณ กรณีที่เติมยิ่งมาก ทำให้การรับแรงอัดน้อยลง

ศึกษาผลของปริมาณโลหะต่อการรับแรงอัดของก้อนของแข็ง ทำการหลอกก้อนของแข็งโดยการเติมสารละลายน้ำ Cd Cu Cr Pb Ni และ Zn (ละลายน้ำเกลือในเตรต) โดยปริมาณโลหะแต่ละชนิดเท่ากันและปริมาณรวมที่เติมลงไป ตั้งแต่ 0 - 7 g/kg ทำการหลอกของแข็งปรับเสถียรในแบบ ทึ้งให้แข็งตัวเป็นเวลา 28 วัน แล้วทดสอบออกจากแบบ นำก้อนของแข็งมาวัดค่าการรับแรงอัด ได้ผลดังรูปที่ 3-6



รูปที่ 3-6 ค่าการรับแรงอัด (Compressive strength) ของของแข็งปรับเสถียร ที่ปริมาณโลหะต่างๆ ที่เติม

จากรูปที่ 3-6 พบร่วมกับการเติมโลหะทั้ง 6 ชนิด ทำให้การรับแรงอัดเพิ่มขึ้นและกระแทกทั้งที่ปริมาณโลหะเท่ากัน 1.0-2.0 g/kg ให้ค่าการรับแรงอัดสูงสุดและลดลงตามลำดับเมื่อปริมาณโลหะเพิ่มขึ้น แต่ถ้าเปรียบเทียบกับของแข็งปรับเสถียรที่ไม่มีการเติมโลหะ พบร่วม กับการเติมโลหะมีผลทำให้การรับแรงอัดลดลงอย่างมาก

ทำการหล่อของแข็งปรับเสถียร 4 ชุด คือ ดินปนเปื้อน (S-OS) ดินปนเปื้อนที่เติมโลหะหนัก (S-MS) ดินปนเปื้อนที่เติมสารอิวมิกายังอิง (S-HS) และดินปนเปื้อนที่เติมโลหะหนักและการอิวมิก (S-HMS) ด้วยอัตราส่วนผสมของแข็งปรับเสถียรดังนี้ ซีเมนต์ 31 % ดิน 41 % และน้ำ 28% และตารางที่ 3-6 นำของแข็งปรับเสถียรแต่ละชนิดไปหาปริมาณโลหะทั้งหมดด้วยการละลายและตรวจด้วยเทคนิค AAS และ ICP-AES ได้ผลดังตารางที่ 3-7

ตารางที่ 3-6 อัตราส่วนผสมของแข็งปรับเสถียร

ชนิด	โลหะ (g/kg)	กรดอิวมิก (%w/w)
S-OS	-	-
S-MS	1.5	-
S-HS	-	5
S-HMS	1.5	5

ตารางที่ 3-7 ปริมาณโลหะทั้งหมดในของแข็งปรับเสถียรชนิดต่างๆ

Element	Total content (mg/kg), n=3			
	S-OS	S-MS	S-HMS	S-HS
Na	2,053	9,540	5,483	-
Ca	545,094	513,912	389,428	531,214
Cd	69	2363	2127	73
Cr	248	2226	2115	255
Cu	104	1694	1489	99
Ni	108	4716	925	100
Pb	132	1914	2208	125
Zn	105	1761	1044	100

## 5. การทดสอบการละลาย

### 5.1 หาปริมาณของโลหะหนักใน pore water ของก้อนของแข็ง

นำของแข็งปรับเสถียรตัวอย่าง (S-HS และ S-OS) ที่บดให้มีขนาดเล็กกว่า 1 mm มาแซ่ในน้ำที่ปราศจากไอออน โดยกำหนดค่าอัตราส่วนของของเหลวต่อของแข็งเท่ากับ 0.5 1 5 10 50 และ 100 mL/g นำไปเขย่าด้วยเครื่องเขย่าแล้วดึงทิ้งไว้จนเกิดสมดุลการละลายเป็นเวลา 7 วัน กรองสารละลายที่ได้ด้วยกระดาษกรอง

เบอร์ 2 แล้วแบ่งสารละลายน้ำที่ได้ออกเป็น 2 ส่วน ส่วนหนึ่งนำไปหาค่า pH และนำไปวิเคราะห์หาปริมาณคลอไรด์ และซัลเฟต์ไอออน อีกส่วนหนึ่งนำไปทำให้เป็นกรดที่ pH ต่ำกว่า 2 ด้วยกรดไนทริก 65 % เพื่อนำไปวิเคราะห์หาปริมาณโลหะทั้ง 6 ชนิดในน้ำซับด้วยเทคนิค ICP-AES (ทำการทดลอง 3 ครั้ง) ผลการทดลองแสดงดังรูปที่ 3-7

จากรูปที่ 3-7 พบว่าการละลายของโลหะต่างๆ ใน pore water มากขึ้นเมื่อ L/S ลดลง ยกเว้น Cd และ Cr มีการละลายคงที่ น่าจะเกิดจากภาวะอิ่มตัวของโลหะในสารละลาย pore water การละลายของโลหะจาก S-OS และ S-HS แตกต่างกันอย่างไม่มีนัยสำคัญ

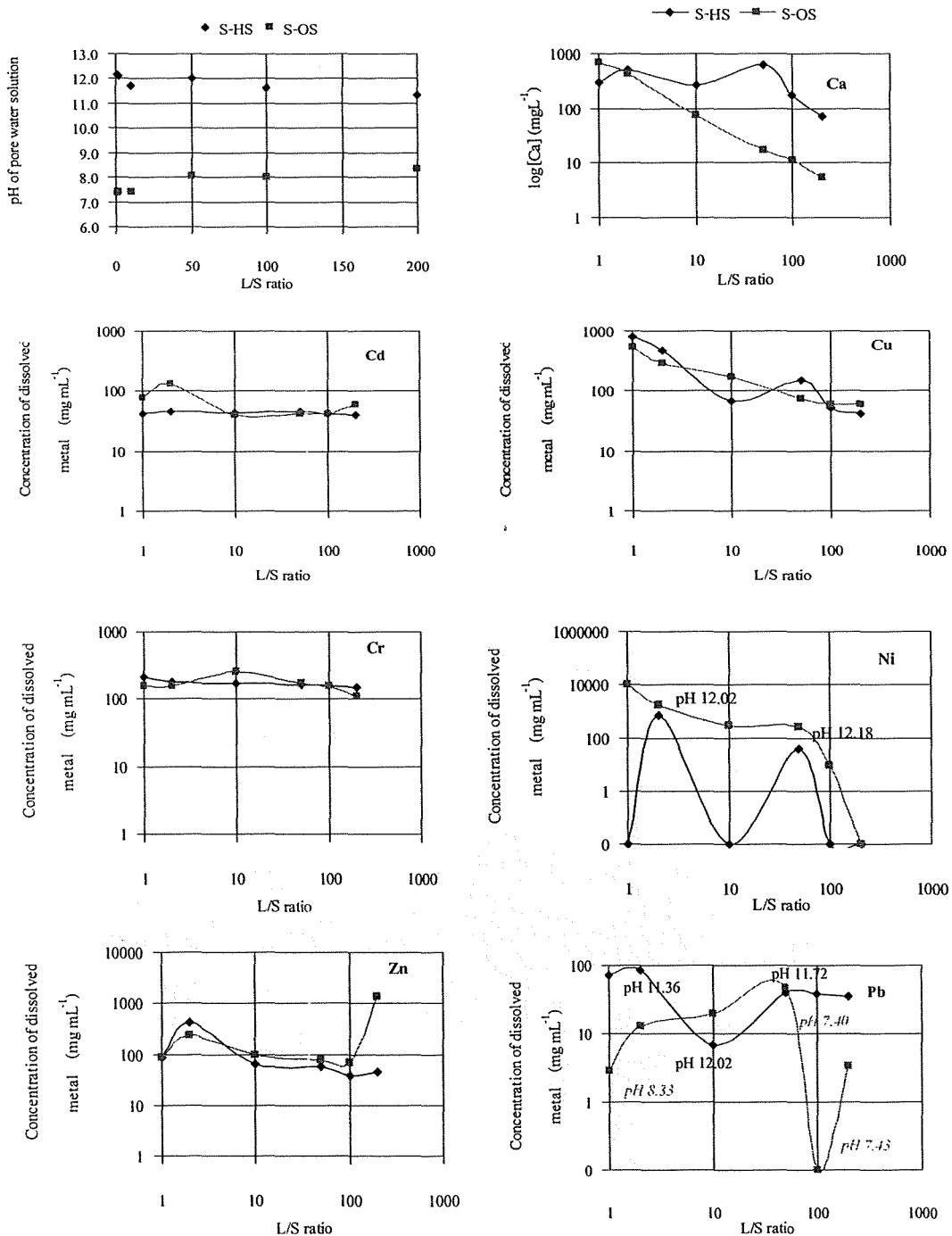
### 5.2 หาความสัมพันธ์ระหว่าง pH ของน้ำซับและปริมาณการถูกชักของโลหะหนักแต่ละชนิด

นำของแข็งปรับเสถียรตัวอย่าง (S-HS และ S-OS) ที่บดให้มีขนาดเล็กกว่า 1 mm มาแช่ในน้ำที่ปราศจากไอออน และเติมกรดไนทริก ลงไปเพื่อปรับค่า pH ให้มีค่าต่างๆ อยู่ในช่วง pH 4-12 โดยกำหนดค่าอัตราส่วนของเหลวต่อของแข็ง เท่ากับ 10 นำไปเขย่าด้วยเครื่องเขย่าแล้วตั้งทิ้งไว้จนเกิดสมดุลเป็นเวลา 7 วัน กรองสารละลายที่ได้ด้วยกระดาษกรองเบอร์ 2 แล้วแบ่งสารละลายที่ได้ออกเป็น 2 ส่วน ส่วนหนึ่งนำไปหาค่า pH อีกส่วนหนึ่งนำไปทำให้เป็นกรดที่ pH ต่ำกว่า 2 ด้วยกรดไนทริก 65 % เพื่อนำไปวิเคราะห์หาปริมาณโลหะทั้ง 6 ชนิดในน้ำซับด้วยเทคนิค ICP-AES (ทำการทดลอง 3 ครั้ง) ผลการทดลองแสดงดังรูปที่ 3-8

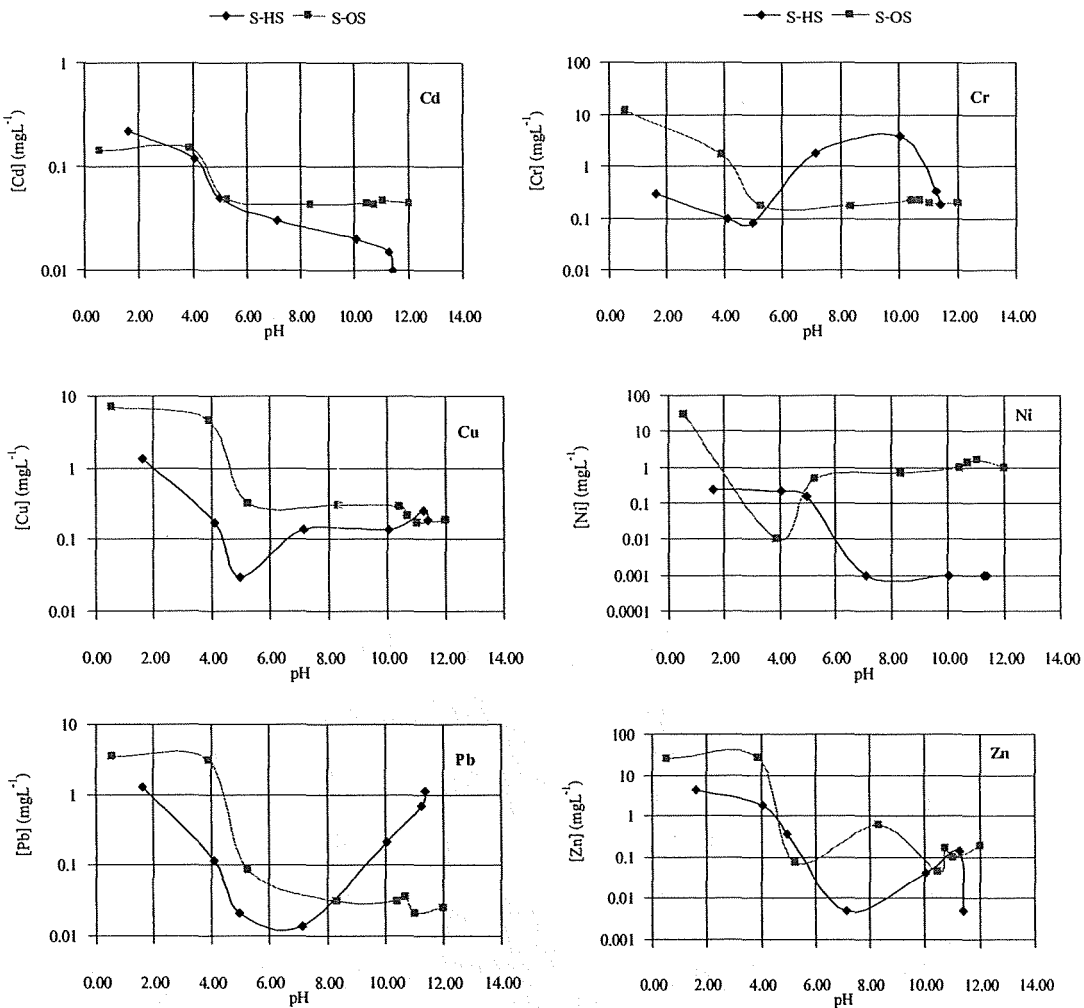
จากรูปที่ 3-8 พบว่าการละลายของโลหะทุกชนิดจากของแข็งปรับเสถียรทั้ง 2 ชนิดขึ้นกับ pH ของสารละลาย เมื่อเปรียบเทียบการละลายของโลหะชนิดเดียวกัน พบว่ามีพฤติกรรมการละลายที่แตกต่างกันจากของแข็งปรับเสถียรทั้ง 2 ชนิด ดังนี้ Cd Cu Ni และ Zn ละลายจากดินที่ปรับเสถียรที่ไม่การเติมกรดอิควิวิกได้ดีกว่า ดินที่ปรับเสถียรที่มีการเติมกรดอิควิวิก โครเมียมและตะกั่วมีพฤติกรรมการละลายเหมือนโลหะอื่นข้างต้นในสารละลายที่เป็นกรด แต่ในภาวะที่เป็นเบสโครเมียมและตะกั่วละลายจากดินที่มีการเติมกรดอิควิวิกได้ดีกว่า กรดอิควิวิกสามารถช่วยลดการละลายของโลหะได้

### 5.3 ศึกษาการชะล้างสารละลาย $\text{KNO}_3$ สารละลายกรดอะซิติก และสารละลายกรดอิควิวิก ที่ระยะเวลาต่าง ๆ และหาค่าความสามารถในการดูดซับน้ำ

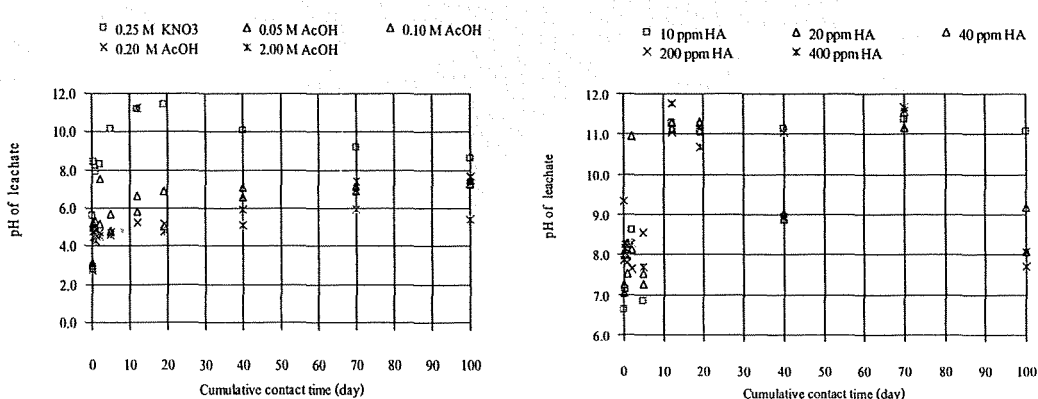
นำก้อนของแข็งตัวอย่าง (S-MS) มาซั่มน้ำหนักและพื้นที่ผิวของของแข็งปรับเสถียรแล้วทำการแช่ของแข็งปรับเสถียรตัวอย่างและของแข็งปรับเสถียรเปล่าตัวชนิดต่างๆ ดังนี้ สารละลาย  $\text{KNO}_3$  เช้มขัน 0.25 mol/L สารละลายกรดอะซิติกเข้มข้น 0.05, 0.1, 0.2 และ 2.0 mol/L และสารกรดอิควิวิกเข้มข้น 10, 20, 40, 200, และ 400 mg/L โดยกำหนดให้ปริมาณน้ำที่ใช้มีปริมาตรเป็น 10 เท่าของพื้นที่ผิวของของแข็งปรับเสถียรที่นำไปแช่นั้นๆ และระยะเวลาในการแช่คือ 6 ชั่วโมง 18 ชั่วโมง 1 วัน 2 วัน 5 วัน 7 วัน 20 วัน 30 วัน และ 30 วัน ตามลำดับ โดยถ่ายสารละลายที่ได้ใส่ในภาชนะที่ปิดสนิทแล้วนำไปทำให้เป็นกรดที่ pH ต่ำกว่า 2 ด้วยกรดไนทริก 65% เพื่อนำไปทำการวิเคราะห์หาปริมาณไอออนของ Cd Na K Ca คลอไรด์และซัลเฟต์ ค่าของของแข็งละลายทั้งหมด และค่าความสามารถในการดูดซึมน้ำของของแข็งปรับเสถียร (ทำการทดลอง 3 ครั้ง) ได้ผลดังรูปที่ 3-9 – 3-18



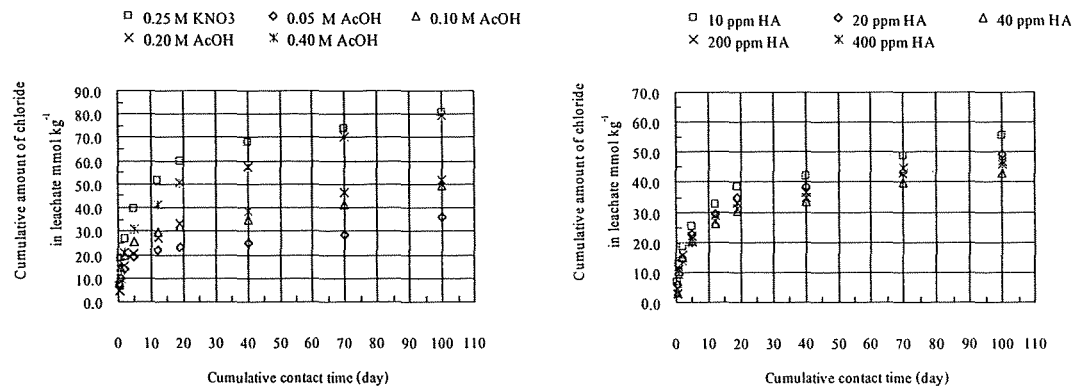
รูปที่ 3-7 แสดงความสัมพันธ์ระหว่างค่า L/S กับ pH และความเข้มข้นของไอออนต่าง ๆ



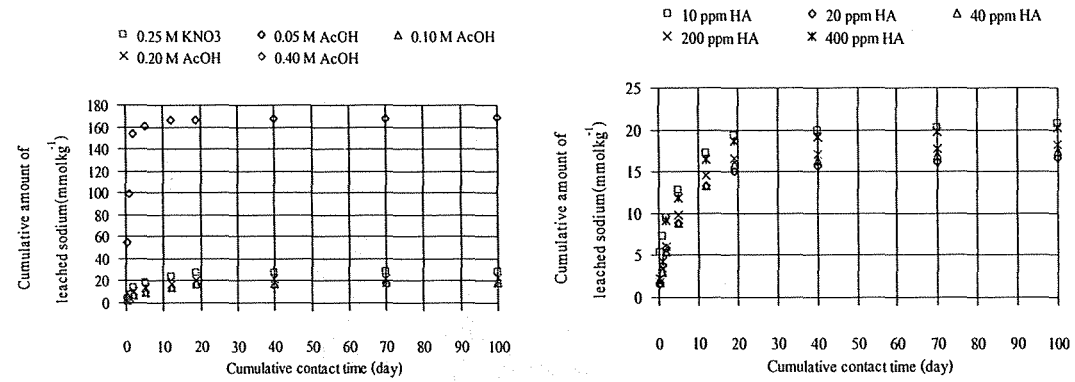
รูปที่ 3-8 แสดงความสัมพันธ์ระหว่างค่า pH กับความเข้มข้นของไอออนต่างๆ



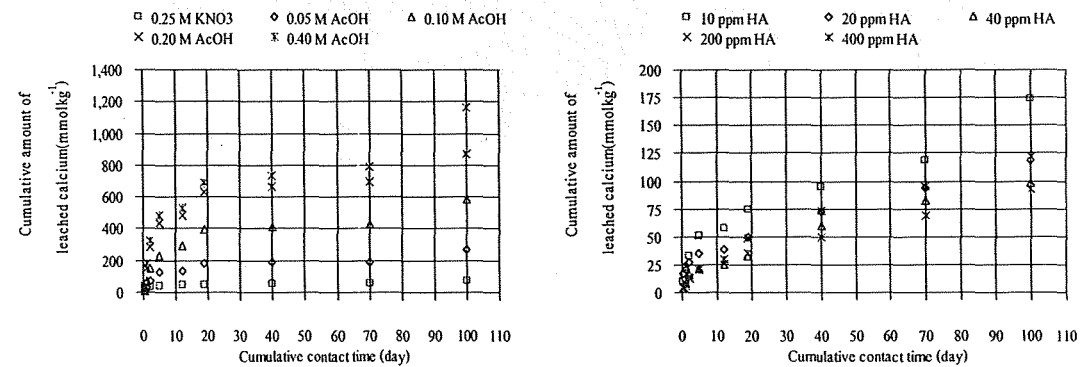
รูปที่ 3-9 แสดงความสัมพันธ์ระหว่างเวลาที่ของแข็งปรับเสถียรสัมผัสกับค่า pH เมื่อใช้ตัวชี้ชนิดต่างๆ



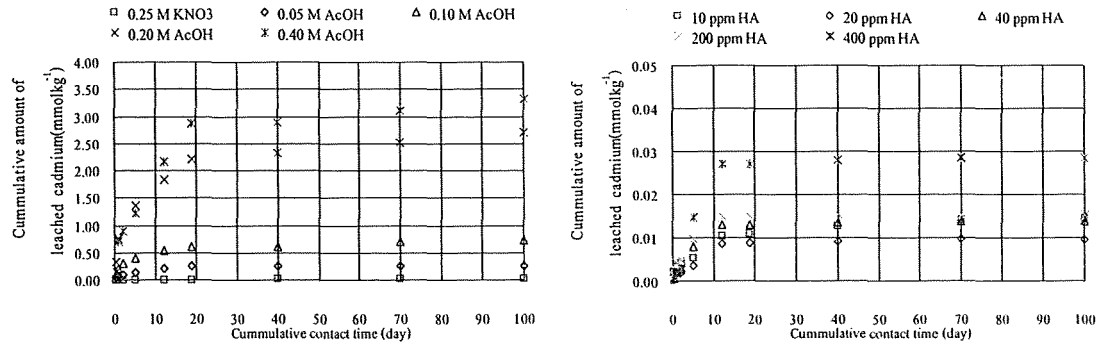
รูปที่ 3-10 แสดงความสัมพันธ์ระหว่างเวลาที่ของแข็งปรับเสถียรสมผสาน กับปริมาณของคลอไรต์ออกอนในน้ำซั่ง เมื่อใช้ตัวชี้ชนิดต่างๆ



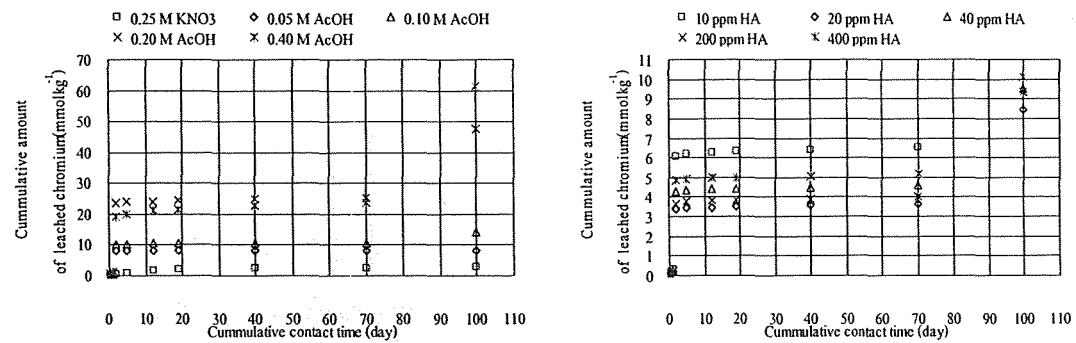
รูปที่ 3-11 แสดงความสัมพันธ์ระหว่างเวลาที่ของแข็งปรับเสถียรสมผสาน กับปริมาณของโซเดียมในน้ำซั่ง เมื่อใช้ตัวชี้ชนิดต่างๆ



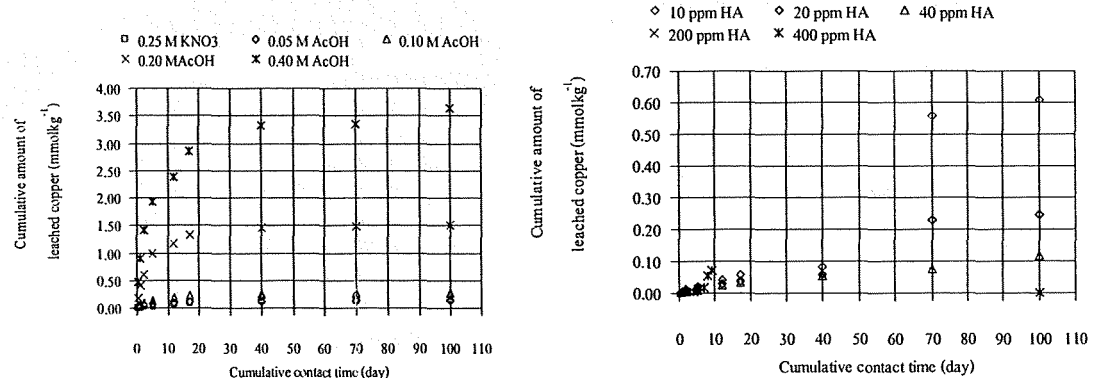
รูปที่ 3-12 แสดงความสัมพันธ์ระหว่างเวลาที่ของแข็งปรับเสถียรสมผสาน กับปริมาณของ Ca ในน้ำซั่ง เมื่อใช้ตัวชี้ชนิดต่างๆ



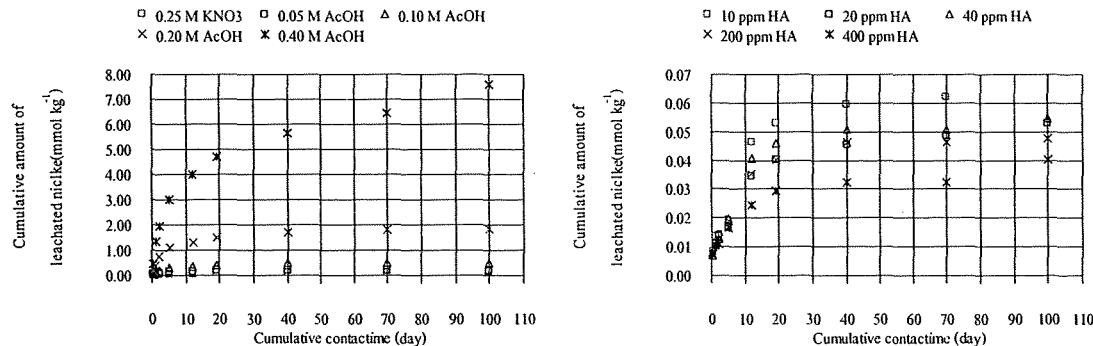
รูปที่ 3-13 แสดงความสัมพันธ์ระหว่างเวลาที่ของแข็งปรับเสถียรสัมผัสกับปริมาณของ Cd ในน้ำชา เมื่อใช้ตัวช่วยนิดต่างๆ



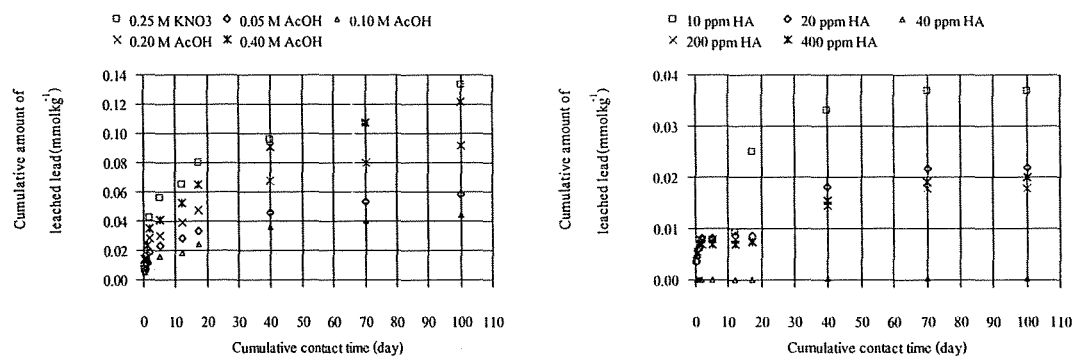
รูปที่ 3-14 แสดงความสัมพันธ์ระหว่างเวลาที่ของแข็งปรับเสถียรสัมผัส กับปริมาณของ Cr ในน้ำชา เมื่อใช้ตัวช่วยนิดต่างๆ



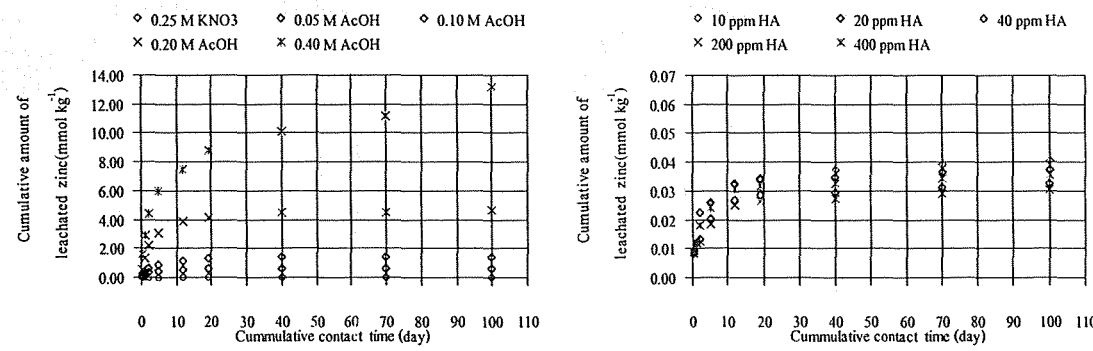
รูปที่ 3-15 แสดงความสัมพันธ์ระหว่างเวลาที่ของแข็งปรับเสถียรสัมผัส กับปริมาณของ Cu ในน้ำชา เมื่อใช้ตัวช่วยนิดต่างๆ



รูปที่ 3-16 แสดงความสัมพันธ์ระหว่างเวลาที่ของแข็งปรับเสถียรสมดุลหน้า กับปริมาณของ Ni ในน้ำชา เมื่อใช้ตัวช่วยนิดต่างๆ



รูปที่ 3-17 แสดงความสัมพันธ์ระหว่างเวลาที่ของแข็งปรับเสถียรสัมผัสหน้า กับปริมาณของ Pb ในน้ำชา เมื่อใช้ตัวชี้ชนิดต่างๆ

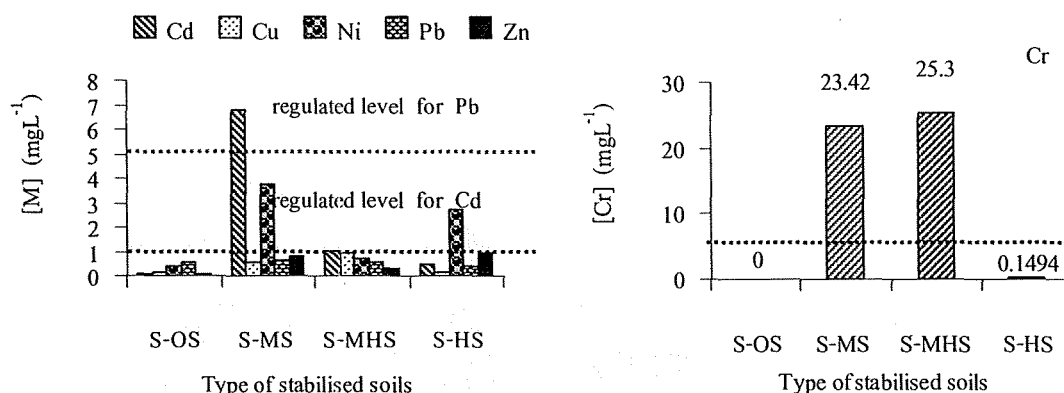


รูปที่ 3-18 แสดงความสัมพันธ์ระหว่างเวลาที่ของแข็งปรับเสถียรสมดุลน้ำ กับปริมาณของ  $Zn$  ในน้ำชา เมื่อใช้ตัวช่วยชนิดต่างๆ

จากรุปที่ 3-9 – 3-18 ชนิดของน้ำจะมีผลต่อการชะล่อลายซึ่งจะแตกต่างกันสำหรับโลหะแต่ละชนิด โดยทั่วไปน้ำปราศจากไอออนและสารละลายโพแทสเซียมในเดรตให้ผลการชะล์ไม่แตกต่างกัน กรดอะซีติกจะชะล์ได้ดีที่ความเข้มข้นมากกว่ากรดอิมิคิกที่ความเข้มข้นมากกว่าความสามารถชะล์โลหะได้ลดลง

#### 5.4 ศึกษาการระดับด้วย TCLP

TCLP หรือ Toxicity Characteristic Leaching Procedure ซึ่งเสนอโดย US EPA มีวิธีการสกัดคือ นำของแข็งปรับเสถียรด้วยตัวอย่าง (S-OS, S-MS, S-HS, และ S-MHS) ที่บดให้มีขนาดเล็กกว่า 9.5 mm มาชนิดละ 25 g ใส่ในขวดพลาสติกขนาด 500 mL เดิมสารละลายน้ำดีดีก 0.1 M ( $\text{pH } 2.88 \pm 0.05$ ) ปริมาตร 500 mL ปิดฝาให้สนิท ผสมให้เข้ากันทั่วไป 1 อาทิตย์ และนำไปเขย่าด้วยเครื่องเขย่าด้วยความเร็ว 30 รอบต่อนาที เป็นเวลา 18 ชั่วโมง หลังจากนั้นกรองสารละลายน้ำผ่านแมมนเบรนไนแก้วขนาด 0.2  $\mu\text{m}$  นำสารละลายน้ำที่ได้มาให้เป็นกรดที่ pH ต่ำกว่า 2 ด้วยกรดไนทริก 65 % เพื่อนำไปวิเคราะห์habริมาณโลหะทั้ง 6 ชนิดในน้ำด้วยเทคนิค AAS หรือ ICP-AES ผลการทดลองแสดงดังรูปที่ 3-19



รูปที่ 3-19 ความเข้มข้นของโลหะทั้ง 6 ชนิดในน้ำด้วยจากการศึกษาการระดับด้วย TCLP

จากรูป 3-19 พบว่า ปริมาณของโลหะที่ถูกชะออกจากการขึ้นแข็งปรับเสถียรทั้ง 4 ชนิด อยู่ในระดับต่ำกว่าเกณฑ์ที่ US EPA กำหนด ยกเว้น โลหะ Cd ใน S-MS และ Cr ใน S-MS และ S-MHS

หากพิจารณาเปรียบเทียบโลหะชนิดเดียวกันระหว่าง S-OS และ S-MS พบว่าใน S-MS มีการเติมโลหะลงไปในดินก่อนการผ่านการทำ S/S ทำให้ปริมาณโลหะในน้ำมากกว่า S-MS มากกว่าจาก S-OS

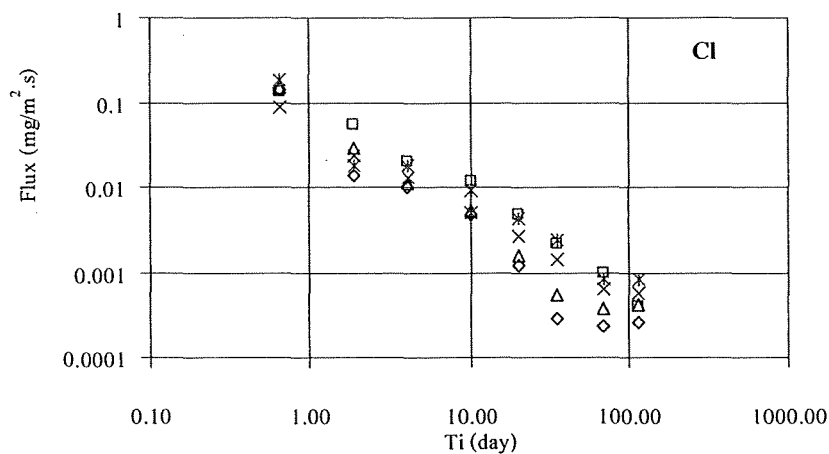
หากพิจารณาเปรียบเทียบโลหะชนิดเดียวกันระหว่าง S-OS และ S-HS พบว่าการเติมกรดเข้มข้นลงในดินก่อนการทำ S/S ทำให้โลหะต่างๆ ถูกชะออกมากขึ้น โดยเฉพาะโลหะ Ni และ Zn อาจเนื่องมาจากเกิดสารประกอบเชิงชั้นระหว่างโลหะดังกล่าวกับกรดเข้มข้นที่เป็นสารที่ละลายนำเสนอได้ดีขึ้น

หากพิจารณาเปรียบเทียบโลหะชนิดเดียวกันระหว่าง S-MS และ S-MHS พบว่าการเติมกรดเข้มข้นลงในดินที่มีการเติมโลหะทำให้โลหะทุกชนิดละลายได้น้อยลง ยกเว้น Cu และ Cr

## 6. ฟลักซ์การชะล살าย (leaching flux)

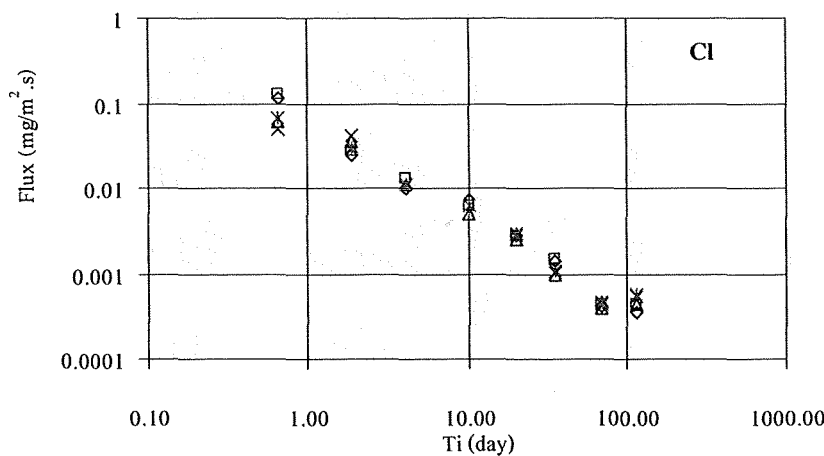
จากแบบจำลองการชะล살าย กราฟฟลักซ์ของสเปรี้ยส์ไดๆ ( $\text{mg}/\text{m}^2\text{s}$ ) ของ S-OS กับเวลา  $T_i$  (leaching sequence) เมื่อใช้น้ำ acidic แสดงดังรูปที่ 3-20 – 3-27

□ 0.25 M  $\text{KNO}_3$       ◇ 0.05 M  $\text{AcOH}$       △ 0.10 M  $\text{AcOH}$   
 × 0.20 M  $\text{AcOH}$       ✕ 0.40 M  $\text{AcOH}$



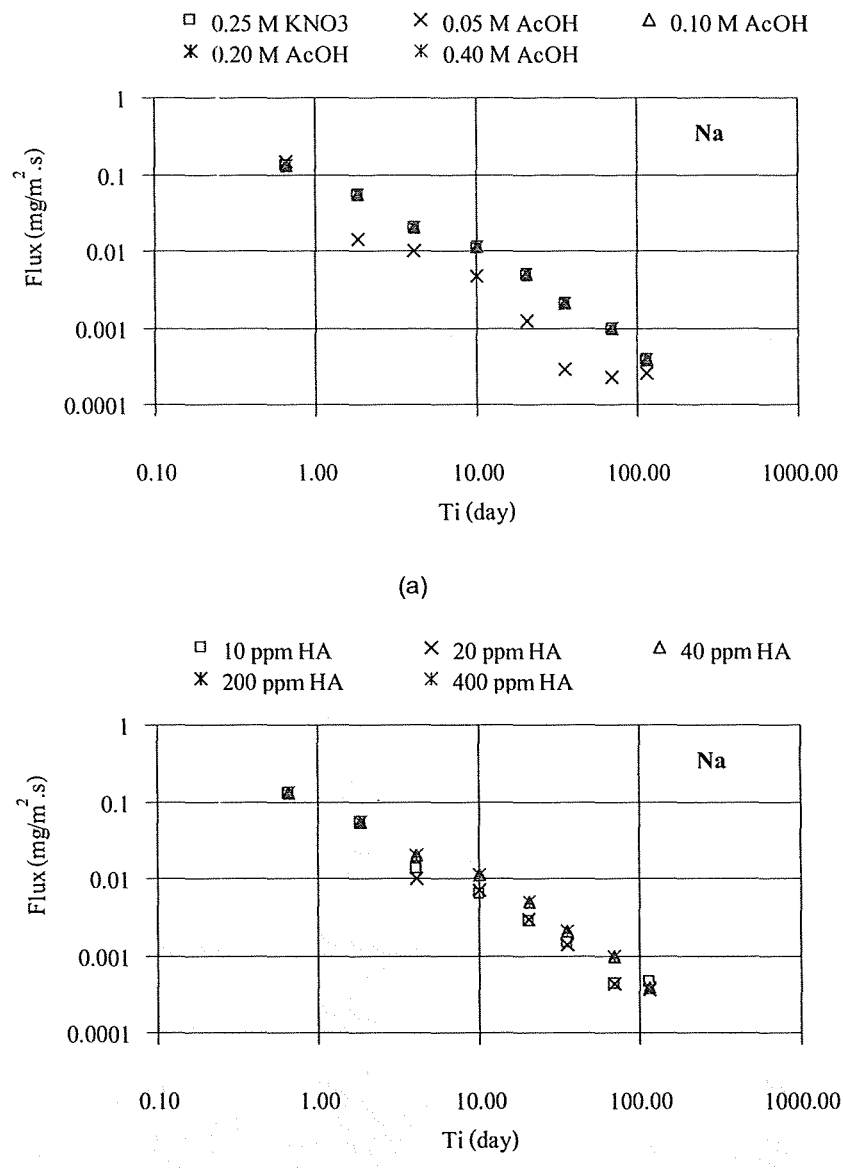
(a)

□ 10 ppm HA      ◇ 20 ppm HA      △ 40 ppm HA  
 × 200 ppm HA      ✕ 400 ppm HA

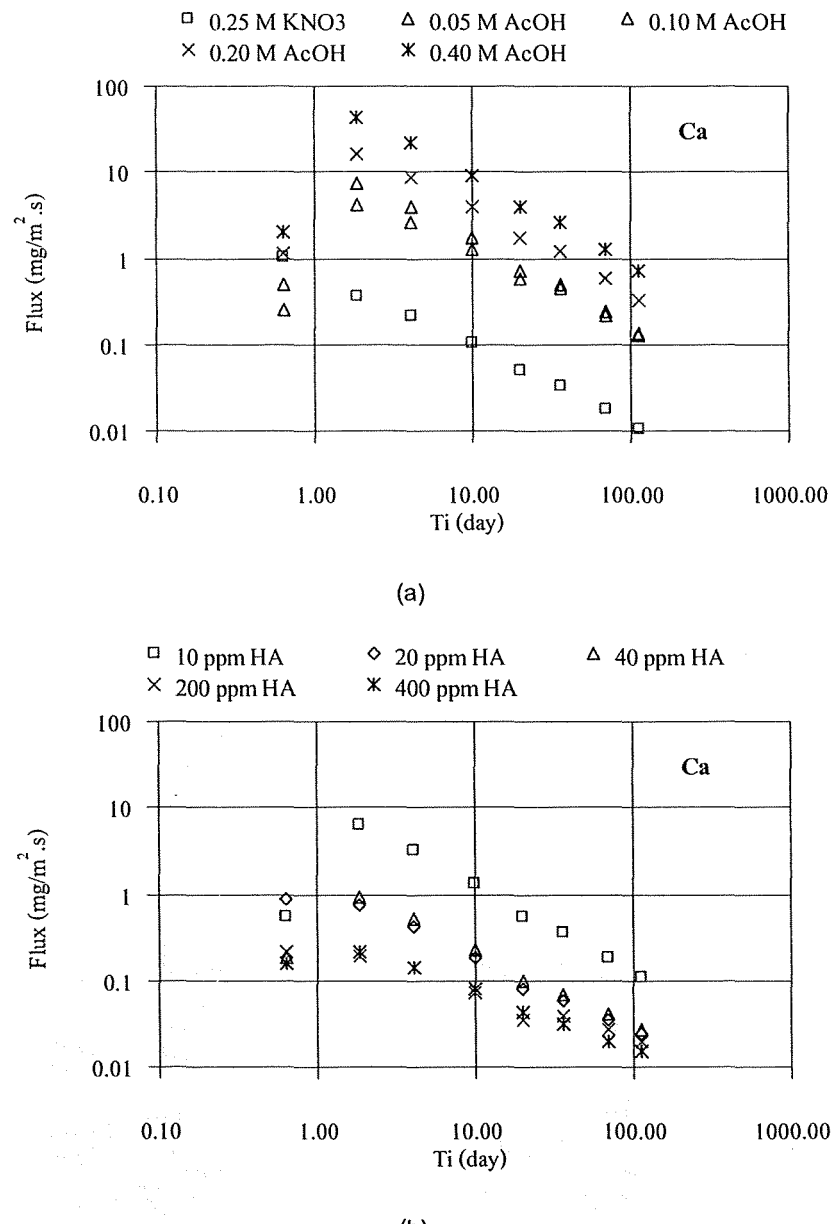


(b)

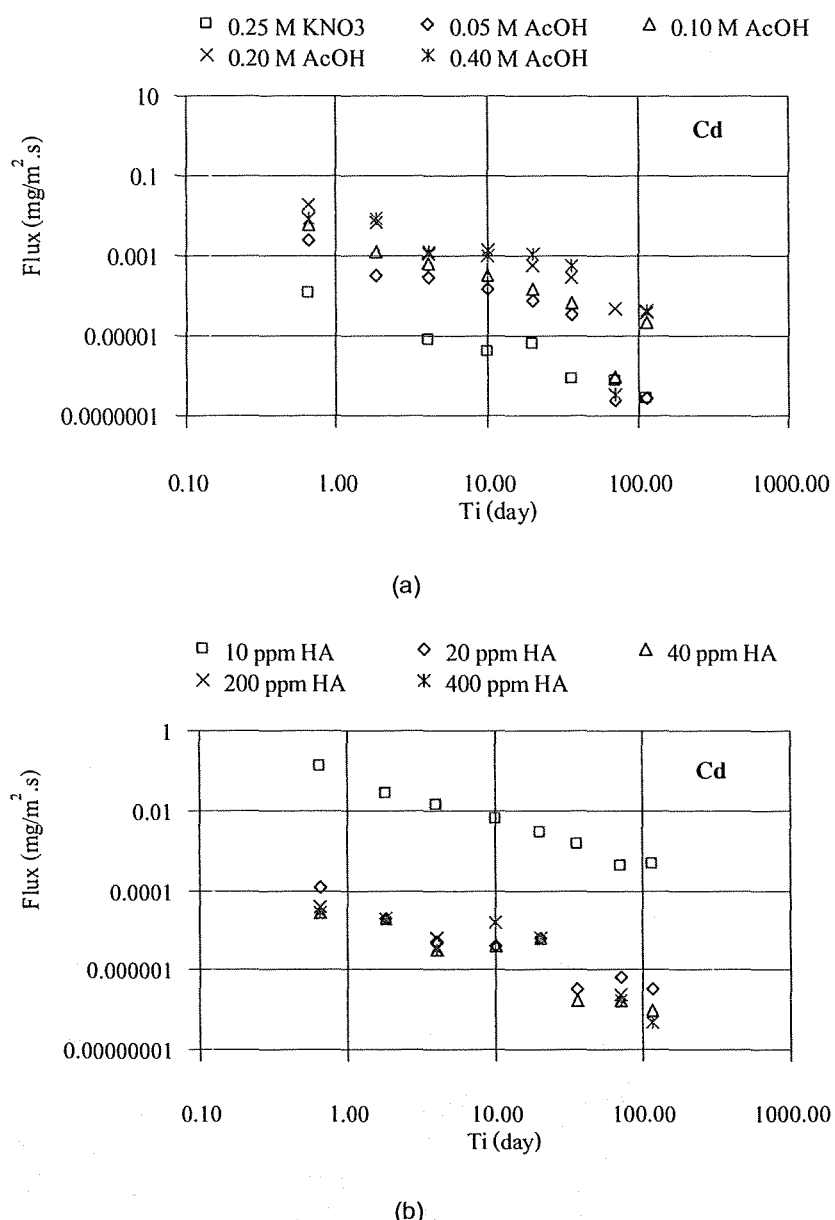
รูปที่ 3-20 ฟลักซ์ของคลอไรด์ (a) เมื่อใช้ 0.25 M  $\text{KNO}_3$  และ 0.05, 0.10, 0.20, และ 0.40 M  $\text{AcOH}$  เป็นน้ำ acidic และ (b) เมื่อใช้สารละลายน้ำมีค่าเข้มข้น 10, 20, 40, 200, และ 400 ppm เป็นน้ำ acidic



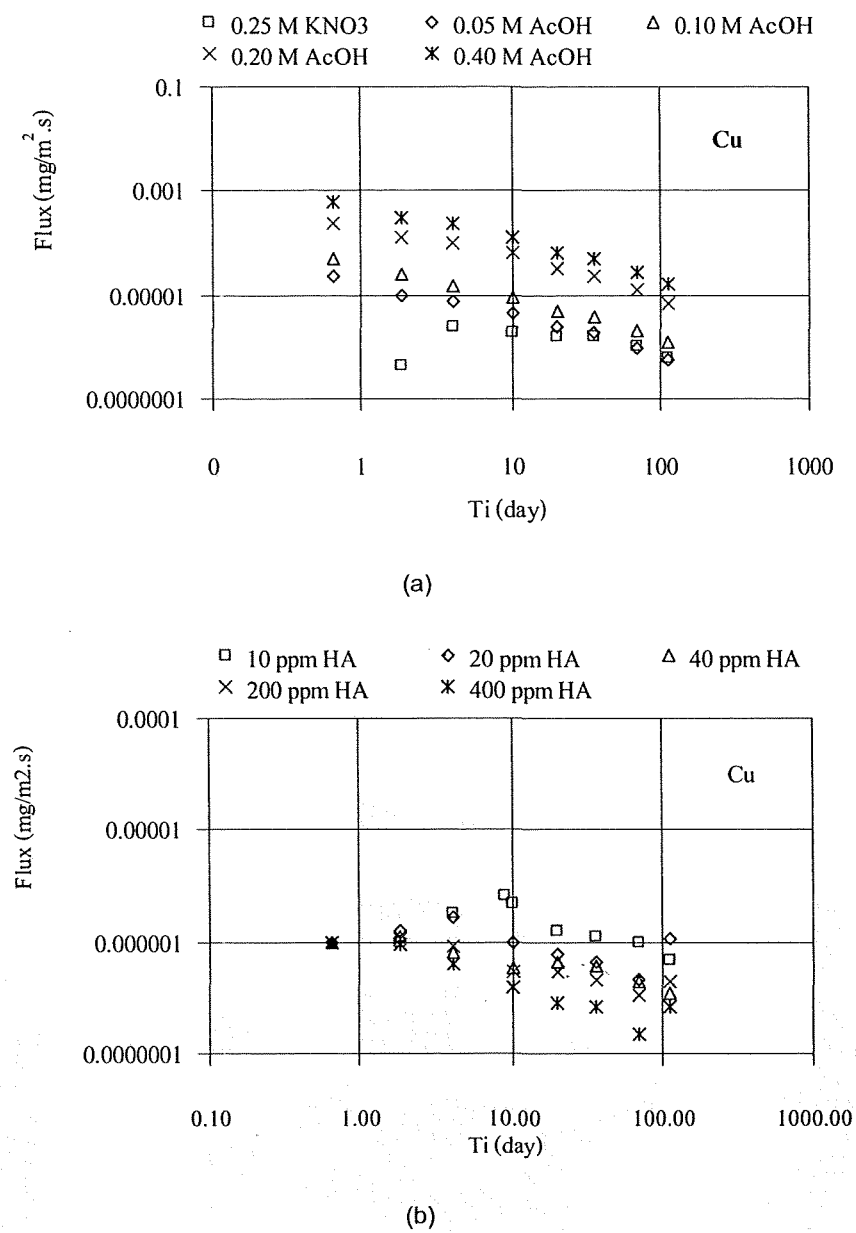
รูปที่ 3-21 พลักซ์ของ  $\text{Na}^+$  (a) เมื่อใช้ 0.25 M  $\text{KNO}_3$  และ 0.05, 0.10, 0.20, และ 0.40 M  $\text{AcOH}$  เป็นน้ำชีด และ (b) เมื่อใช้สารละลายน้ำมิกเข้มข้น 10, 20, 40, 200, และ 400 ppm เป็นน้ำชีด



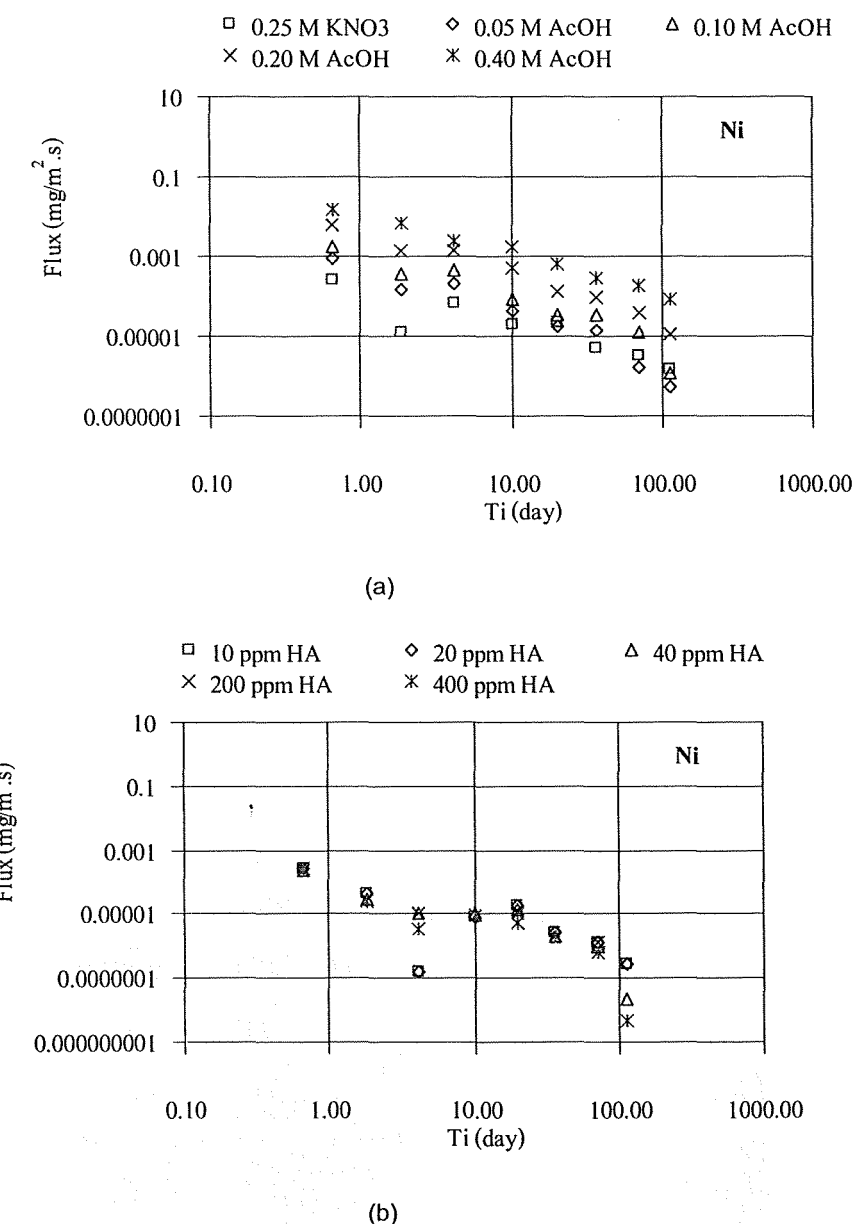
รูปที่ 3-21 พลักซ์ของ  $\text{Ca}^{2+}$  (a) เมื่อใช้  $0.25 \text{ M } \text{KNO}_3$  และ  $0.05, 0.10, 0.20$ , และ  $0.40 \text{ M } \text{AcOH}$  เป็นน้ำซับ และ (b) เมื่อใช้สารละลายกรดอะมิโนเข้มข้น  $10, 20, 40, 200$ , และ  $400 \text{ ppm}$  เป็นน้ำซับ



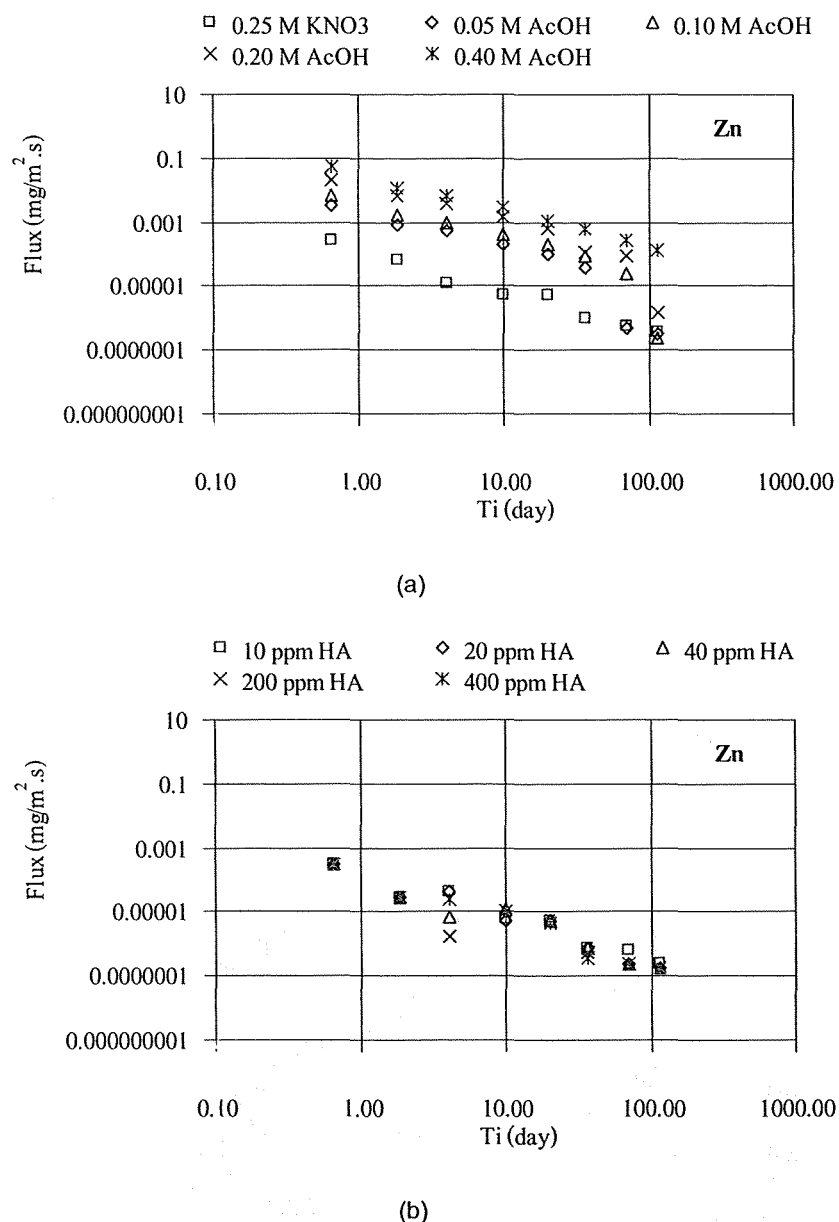
รูปที่ 3-22 พลักซ์ของ  $\text{Cd}^{2+}$  (a) เมื่อใช้  $0.25 \text{ M KNO}_3$  และ  $0.05, 0.10, 0.20$ , และ  $0.40 \text{ M AcOH}$  เป็นน้ำชา และ (b) เมื่อใช้สารละลายน้ำมิกเข้มข้น  $10, 20, 40, 200$ , และ  $400 \text{ ppm}$  เป็นน้ำชา



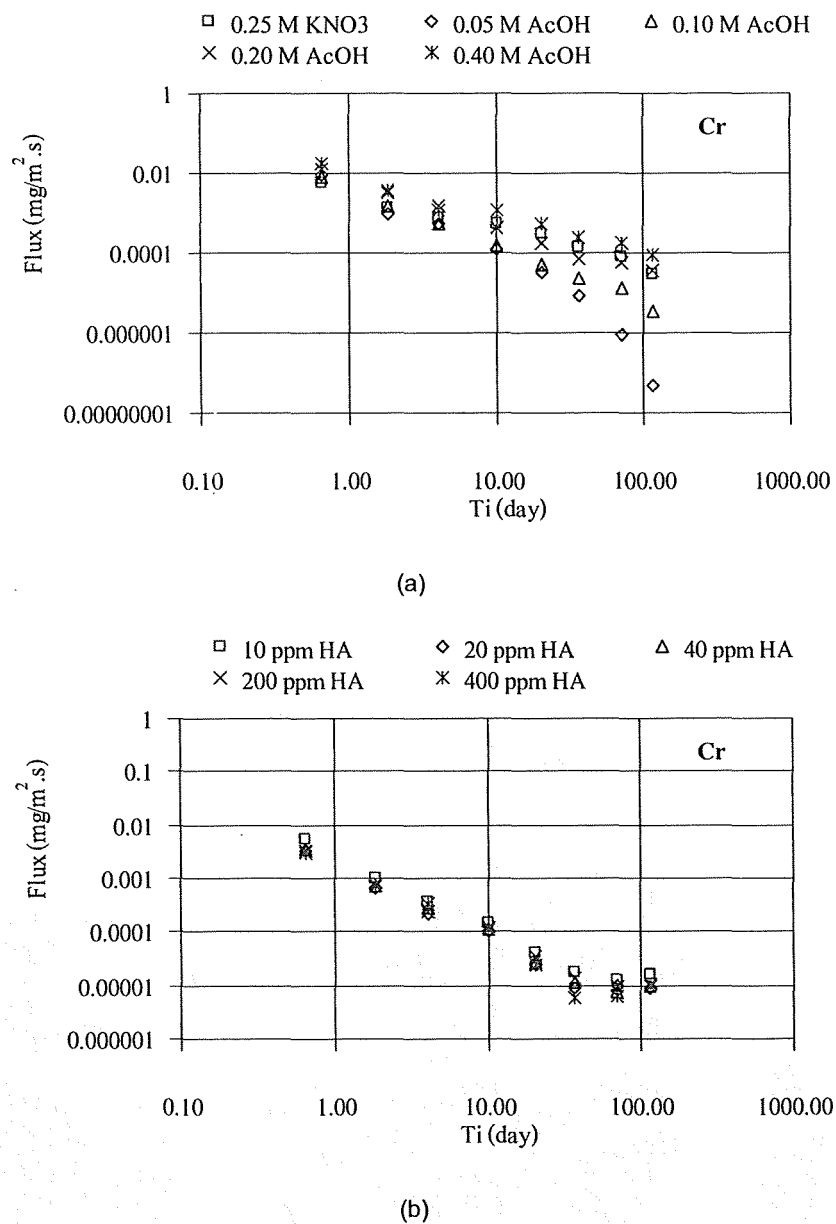
รูปที่ 3-23 พลักซ์ของ  $\text{Cu}^{2+}$  (a) เมื่อใช้  $0.25 \text{ M KNO}_3$  และ  $0.05, 0.10, 0.20$ , และ  $0.40 \text{ M AcOH}$  เป็นน้ำแข็ง และ (b) เมื่อใช้สารละลายกรดอะมิิกเข้มข้น  $10, 20, 40, 200$ , และ  $400 \text{ ppm}$  เป็นน้ำแข็ง



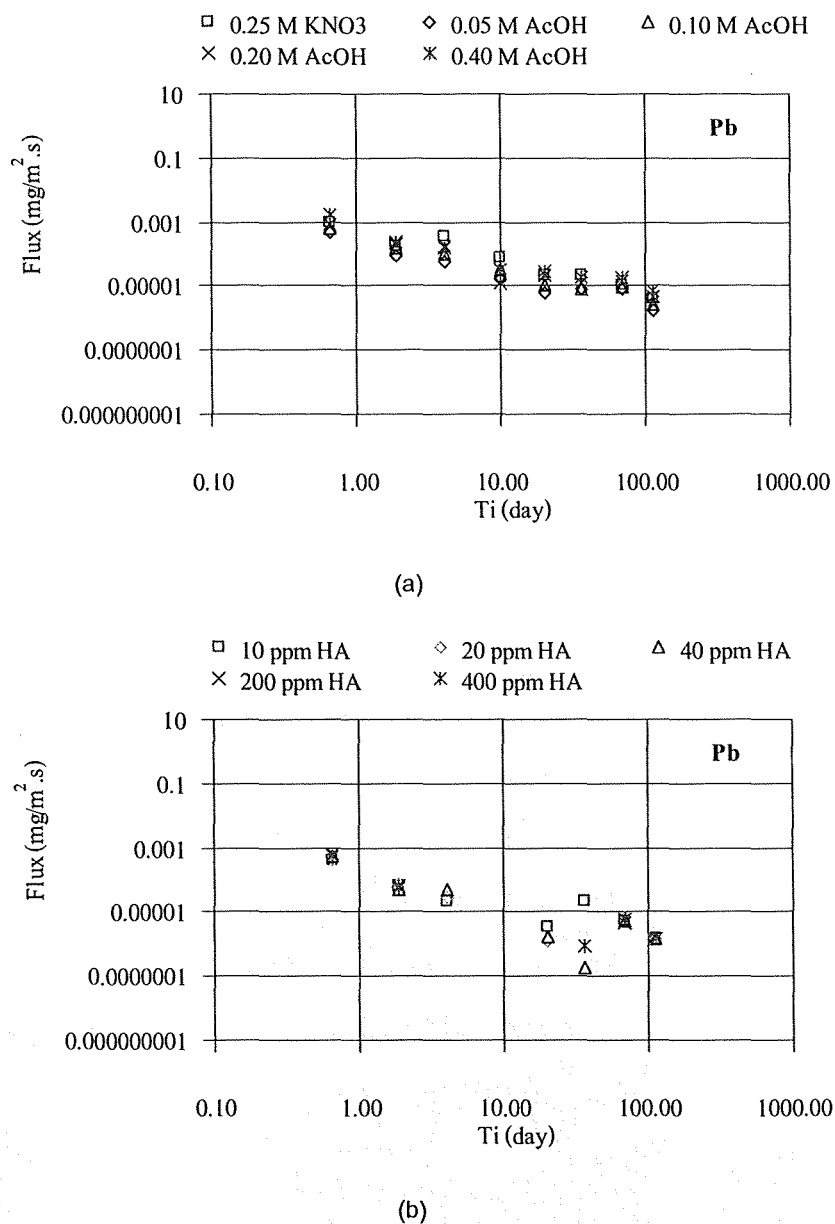
รูปที่ 3-24 พลักช์ของ  $\text{Ni}^{2+}$  (a) เมื่อใช้  $0.25 \text{ M KNO}_3$  และ  $0.05, 0.10, 0.20$ , และ  $0.40 \text{ M AcOH}$  เป็นน้ำชา และ (b) เมื่อใช้สารละลายนครดิวมิกเข้มข้น  $10, 20, 40, 200$  และ  $400 \text{ ppm}$  เป็นน้ำชา



รูปที่ 3-25 ผลลัพธ์ของ Zn<sup>2+</sup> (a) เมื่อใช้ 0.25 M KNO<sub>3</sub> และ 0.05, 0.10, 0.20, และ 0.40 M AcOH เป็นน้ำชา และ (b) เมื่อใช้สารละลายน้ำมิกรดเข้มข้น 10, 20, 40, 200 และ 400 ppm เป็นน้ำชา



รูปที่ 3-26 พลักซ์ของ Cr<sup>3+</sup> (a) เมื่อใช้ 0.25 M KNO<sub>3</sub> และ 0.05, 0.10, 0.20, และ 0.40 M AcOH เป็นนำ้ำ และ (b) เมื่อใช้สารละลายน้ำมีค่าเข้มข้น 10, 20, 40, 200 และ 400 ppm เป็นนำ้ำ



รูปที่ 3-27 พลักซ์ของ Pb<sup>2+</sup> (a) เมื่อใช้ 0.25 M KNO<sub>3</sub> และ 0.05, 0.10, 0.20, และ 0.40 M AcOH เป็นน้ำชา และ (b) เมื่อใช้สารละลายน้ำมิกเข้มข้น 10, 20, 40, 200 และ 400 ppm เป็นน้ำชา

จากรูปที่ 3-20 – 3-27 พบว่า หลังจากการชะล่อลาย 100 วัน พลักซ์ของสเปชีส์ต่างๆ มีค่าน้อยมาก สามารถแบ่งพฤษตกรรมการชะล่อลายได้ 3 กรณี ดังนี้

กรณี I: สเปชีส์ที่การละลายไม่ขึ้นกับค่า pH ของสารละลายน้ำดีและความเข้มข้นของน้ำชา ได้แก่ คลอไรด์ และโซเดียมไอโอดิน ความชันของกราฟเท่ากับ -0.5 แสดงถึงการชะล่อลายแบบ diffusion เท่านั้น

กรณี II: สเปชีส์การละลายขึ้นกับสภาวะของน้ำชา ได้แก่ Ca, Cd, และ Cu การละลายถูกกำหนดด้วยสมดุลการละลายใน pore solution ในช่วงแรกของการละลาย ฟลักซ์ของ Ca มีค่าน้อย ในน้ำชาที่เป็นกรดแอซีติกทำให้การละลายของ Ca เพิ่มขึ้นอย่างชัดเจนและสูงกว่าในสารละลายกรดอิวมิก แต่เมื่อกรดอิวมิกมีความเข้มข้นเพิ่มขึ้น ฟลักซ์ของ Ca กลับลดลง สำหรับ Cd และ Cu มีพฤติกรรมที่คล้ายกัน การละลายของ Cd เกิดได้มากที่สุดเมื่อกรดอิวมิกมีความเข้มข้นต่ำ การละลายของ Cu คงที่ในกรดแอซีติก ซึ่งการละลายของสเปชีส์เหล่านี้ขึ้นกับค่า pH ของน้ำชาและ ionic strength ของสารละลาย

สามารถเสนอแนวคิดได้ 2 ทาง สำหรับอภิปรายพฤติกรรมการละลายของ Ca, Cd, และ Cu ได้ดังนี้

- (1) ปริมาณกรดอิวมิกที่สูงในน้ำชาทำให้ ionic strength (humate ions) เพิ่มขึ้น ทำให้ concentration gradient ของ Cu และ Cd ลดลง
- (2) การละลายถูกกำหนดด้วยการเกิดสารเชิงช้อน โลหะ-อิวมิก (เกิดเป็น humic-metal salts) ที่อยู่ต่อระหว่าง solid/liquid interface ของก้อนของแข็ง ทำให้การแพร่เกิดได้ช้าลง

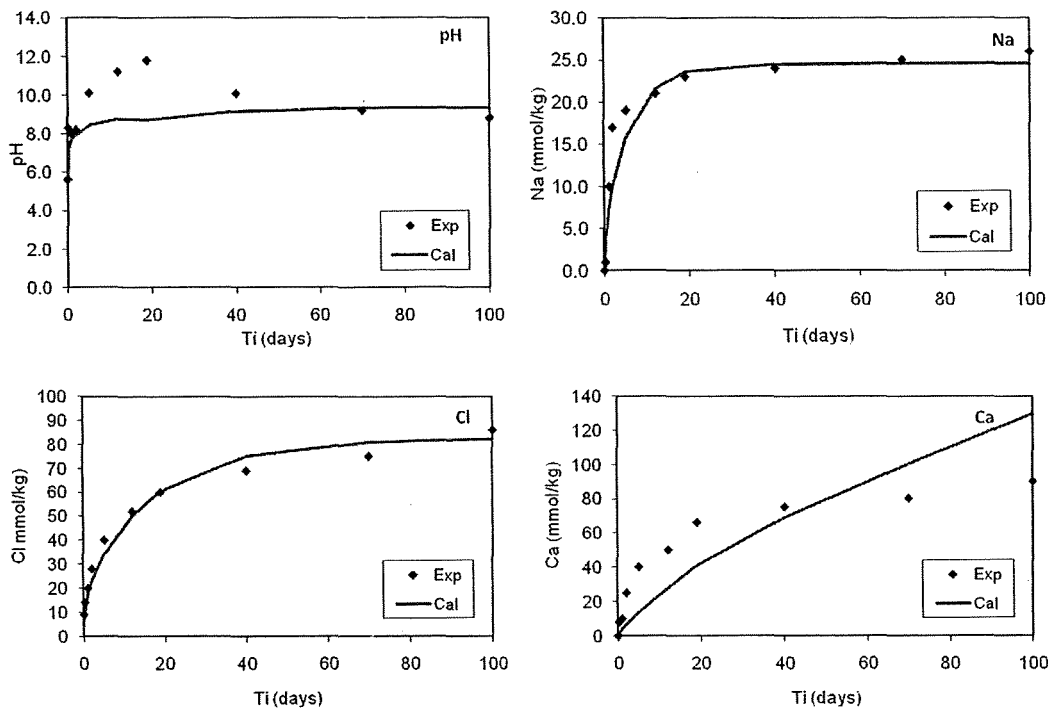
กรณี III: สเปชีส์ที่การละลายขึ้นกับกรดแอซีติกและ  $\text{KNO}_3$  แต่ไม่ขึ้นกับปริมาณกรดอิวมิกในน้ำชา ได้แก่ Ni, Zn, Cr, และ Pb การละลายในกรดแอซีติกคล้ายกับ Ca, Cd และ Cu คือ ฟลักซ์สูงเมื่อความเข้มข้นของกรดแอซีติกและ  $\text{KNO}_3$  เพิ่มขึ้น ในขณะที่ฟลักซ์มีค่าใกล้เคียงกันเมื่อใช้น้ำชาที่มีความเข้มข้นของกรดอิวมิกต่างกัน

## 7. ผลการคำนวณแบบจำลอง

ตารางที่ 3-8 ตัวแปรอินพุทสำหรับแบบจำลองการละลายเมื่อใช้ 0.25 M  $\text{KNO}_3$  เป็นน้ำชา

ตัวแปร	ค่าที่ใช้
พื้นที่ผิวสัมผัส	$9.54 \times 10^{-4} \text{ m}^2$
ความสูงของคอนกรีต	$1.29 \times 10^{-2} \text{ m}$
ปริมาตรของน้ำชา	$1.00 \times 10^{-3} \text{ m}^3$
ความพรุน	0.0931
ความเข้มข้นเริ่มต้นของ $\text{Ca}^{2+}$	0.018 mol/L
ความเข้มข้นเริ่มต้นของ $\text{Cd}^{2+}$	$1.9 \times 10^{-5} \text{ mol/L}$
ความเข้มข้นเริ่มต้นของ $\text{Na}^+$	0.4 mol/L
ความเข้มข้นเริ่มต้นของ $\text{Cl}^-$	0.1 mol/L
ปริมาณของ Ca ในรูปของแข็ง	8.3 mol/L
สัมประสิทธิ์การแพร่ของ $\text{Ca}^{2+}$	$5 \times 10^{-10} \text{ m}^2/\text{s}$
สัมประสิทธิ์การแพร่ของ $\text{Na}^+$	$4 \times 10^{-11} \text{ m}^2/\text{s}$
สัมประสิทธิ์การแพร่ของ $\text{Cl}^-$	$3 \times 10^{-11} \text{ m}^2/\text{s}$

ผลการคำนวณจากแบบจำลองการละลายเบรี่ยนเทียบกับผลการทดลองแสดงดังกราฟที่ 3-28 เมื่อเบรี่ยนเทียบ ปริมาณสเปชีส์ที่ละลายที่ได้จากการคำนวณ ณ เวลาต่างๆ (สมการที่ 2-8) มีค่าสอดคล้องกับค่าที่ได้จากการทดลองหากการละลายที่สัมพันธ์กับเวลา



รูปที่ 3-28 ปริมาณสเปรี้ยส์ที่ละลายสะสมจากการทดลอง (Exp) เปรียบเทียบกับค่าจากการคำนวณ (Cal) ณ เวลาต่างๆ

## บทที่ 4

### บทสรุปและข้อเสนอแนะ

ได้ศึกษาความสัมพันธ์ระหว่างกรดอิวมิกในดินและความสามารถในการดูดซับไออกอนโลหะ และผลของการคงตัวของโลหะหนักในก้อนของเชิงปรับเสถียรด้วยบุนชีเมนต์ ผลการทดลองแสดงว่า

- 1) กรดอิวมิกมีผลต่อประสิทธิภาพการปรับเสถียรและการหล่อแข็ง โดยทำให้ค่าการรับแรงอัดลดลงและเพิ่มอัตราการชะล้างของโลหะบางชนิดที่ป่นเปื้อนในดิน
- 2) พฤติกรรมการชะล้างของโลหะแต่ชนิดแตกต่างกันออกไป การทดสอบการชะล้างแสดงให้เห็นว่าแคลเซียม โซเดียม และคลอไรด์ไออกอน เป็นองค์ประกอบหลักในน้ำสกัด (leachate) และไม่ขึ้นกับชนิดและความเข้มข้นของน้ำชา (leachant) ในขณะที่การชะล้างของโลหะหนักที่ถูกต้องในก้อนของเชิงปรับเสถียร ขึ้นกับพื้面貌ของน้ำชาและองค์ประกอบในน้ำชา
- 3) สามารถแบ่งพฤติกรรมการชะล้างได้ 3 กรณี ดังนี้
  - กรณี I: สเปชีส์ที่การละลายไม่ขึ้นกับค่า pH ของสารละลาย ชนิดและความเข้มข้นของน้ำชา ได้แก่ คลอไรด์ และโซเดียมไออกอน
  - กรณี II: สเปชีส์การละลายขึ้นกับสภาวะของน้ำชา ได้แก่ Ca, Cd, และ Cu การชะล้างถูกกำหนดด้วยสมดุลการละลายใน pore solution ในช่วงแรกของการชะล้าง
  - กรณี III: สเปชีส์ที่การละลายขึ้นกับกรดแอกซีดิกและ  $\text{KNO}_3$  แต่ไม่ขึ้นกับปริมาณกรดอิวมิกในน้ำชา ได้แก่ Ni, Zn, Cr, และ Pb
- 4) เทคโนโลยีการปรับเสถียรและการหล่อแข็งดินป่นเปื้อนโลหะหนักช่วยลดการเผยแพร่กระจายโลหะหนักออกสู่สิ่งแวดล้อมได้ โดยดินที่มีกรดอิวมิกสูงมีการชะล้างของโลหะหนักมากกว่าดินที่มีกรดอิวมิกปริมาณต่ำ โดยเฉพาะการละลายของ Cr และ Cd มีค่าสูง ต้องได้รับการพัฒนาวิธีการปรับเสถียรเพื่อลดการชะล้างต่อไป

#### ข้อเสนอแนะ

งานวิจัยนี้ศึกษาเฉพาะกรดอิวมิก แต่ในดินยังมีกรดฟลวิกและสารอิวมินอื่นๆ ซึ่งส่งผลต่อการคงตัวและการชะล้างของโลหะหนัก จึงควรมีการศึกษาผลของกรดฟลวิกและสารอิวมินด้วย

## เอกสารอ้างอิง

1. C. Steelink, *Anal. Chem. A-Pages*, **2002**, 74(9), 326A-333A.
2. P. Janos, *J. Chromatogr. A*, **2003**, 983, 1-18.
3. ศุภมาศ พนิชศักดิ์พัฒนา. ภาวะมลพิษของดินจากการใช้สารเคมี, สำนักพิมพ์มหาวิทยาลัยเกษตรศาสตร์, กรุงเทพฯ, **2545**, 327 หน้า
4. D. Venditti, S. Durecu, and J. Berthelin, *Arch. Environ. Contam. Toxicol.* **2000**, 38, 411-420.
5. กระทรวงอุตสาหกรรม. ประกาศกระทรวงฉบับที่ 6 (พ.ศ. 2540) ตามความในพระราชบัญญัติโรงงานอุตสาหกรรม พ.ศ. 2535 เรื่องการกำจัดสิ่งปฏิกูลหรือวัสดุที่ไม่ใช้แล้ว, **2540**
6. European Committee for Standardisation. *Characterisation of wastes – Methodology for the determination of the leaching Behaviour of Waste under Specified Conditions*, European Standard. EN 12-920, Brussels: CEN, **1997**, 10 p.
7. P. Burba, B. Aster, T. Nifant'eva et al. *Talanta*, **1998**, 45(5), 977-988.
8. T. I. Nifant'eva, V. M. Shkinev, B. Ya. Spivakov and P. Burba, *Talanta*, **1999**, 48(2), 257-267.
9. T. I. Nifant'eva, P. Burba, O. Fedorova et al. *Talanta*, **2001**, 53(6), 1127-1131.
10. I.K. Iskandar and M.B. Kirkham, *Trace Elements in Soil*, Lewis Publishers, Florida, **2001**, 287 pp.
11. L. M. Yates, III, R. von Wandruszka. *Environ. Sci. Technol.* **1999**, 33(12), 2076-2080.
12. R. D. Porasso, J. C. Benegas, M. A. G. T. van den Hoop, S. Paoletti. *Environ. Sci. Technol.* **2002**; 36(17); 3815-3821.
13. C. E. Martinez and M. B. McBride, *Environ. Sci. Technol.* **1999**, 33(5); 745-750.
14. General Environmental Conservation Co.,Ltd. (GENCO), <http://www.genco.co.th>
15. D.L. Michael, L.B. Phillip and C.E. Jeffrey, *Hazardous Waste Management* 2<sup>nd</sup> ed. Singapore : McGraw- Hill, **2001**.
16. L. Tiruta-Barna, A. Imyim and R. Barna and J. Mehu. In *Sustainable Construction: Use of incinerator ash*, Edited by Dhir R.K., Dyer T.D., Paine K.A., London: Thomas Telford Publishing, **2000**, 437-446.
17. L. Tiruta-Barna, A. Imyim and R. Barna. *Adv. Environ. Res.* In Press, Available online 20 June 2003 at <http://www.sciencedirect.com>
18. L. Tiruta-Barna, R. Barna, P. Moszkowicz, *Environ. Sci. Technol.* **2001**; 35(1); 149-156.
19. P. Theodoratos, A. Moirou, A. Xenidis and I. Paspaliaris. *J. Hazard. Mater.* **2000**, 77(1-3), 177-191.
20. I. Hwang and B. Batchelor. *Environ. Sci. Technol.* **2001**; 35(18); 3792-3797.
21. L. Tiruta-Barna, A. Imyim A. and Barna R., *Adv. Environ. Res.* **2004**; 8(3-4); 697-711.
22. W. Huang, P. Peng, Z. Yu, and J. Fu. *Appl. Geochem.* **2003**; 18; 955-972.

## Output จากโครงการวิจัย

1. ผลงานดีพิมพ์ในวารสารวิชาการนานาชาติ – อุปะหะว่างดำเนินการ-
2. การสร้างนักวิจัยใหม่ 1 คน คือ เรือง อนิวัติ ปัสสากो สำเร็จการศึกษาระดับปริญญาโท สาขาวิชาเคมี ภาควิชาเคมี คณะวิทยาศาสตร์ จุฬาลงกรณ์มหาวิทยาลัย ปัจจุบันทำงานที่กรมวิทยาศาสตร์ทหารเรือ กองทัพเรือ
3. การนำเสนอผลงานในที่ประชุมวิชาการ 1 เรื่อง ดังนี้

Passako, A., Imyim, A. "Influence of humic acids on solubilisation of heavy metals from cement-based stabilised contaminated soil" In The 32<sup>nd</sup> Congress on Science and Technology of Thailand, 10-12 October 2006, Queen Sirikit National Convention Center, Bangkok, Thailand.

## ภาคผนวก

ผลงานที่เสนอในที่ประชุมวิชาการ 1 เรื่อง

Passako, A., Imyim, A. "Influence of humic acids on solubilisation of heavy metals from cement-based stabilised contaminated soil" In The 32<sup>nd</sup> Congress on Science and Technology of Thailand, 10-12 October 2006, Queen Sirikit National Convention Center, Bangkok, Thailand.

ผลของกรดอีวานิกต่อการละลายของโลหะหนังจากดินปูนปื้นที่ปรับเปลี่ยนรดด้วยซีเมนต์

## **INFLUENCE OF HUMIC ACIDS ON SOLUBILISATION OF HEAVY METALS FROM CEMENT-BASED STABILISED CONTAMINATED SOIL**

## อนิเวศน์ ปีสสาiko<sup>1</sup> และ อภิชชาติ อี้ยน<sup>2</sup>

Aniwat Passako<sup>1</sup> and Apichat Inyim<sup>2</sup>

<sup>1</sup>Naval Science Department, Royal Thai Navy, Budhamonthol 3 Rd., Taweeawathana, Bangkok 10170, Thailand

<sup>2</sup>Environmental Analysis Research Group, Department of Chemistry, Faculty of Science, Chulalongkorn University, Bangkok, 10330 Thailand, E-mail: iapichat@chula.ac.th

**Abstract:** Humic acids (5% w/w) was added to heavy metals contaminated soil containing Cd, Cu, Cr, Ni, Pb, and Zn. The stabilization/solidification by Portland cement was done for humic acid added soil (S-HS) and original contaminated soil (S-OS). The solubilisation of the metals from both concretes was investigated at different pH of leachant ranging from 1-12. Regarding the dissolution of the metals in leachates from both materials, the results showed that the dissolution was mainly controlled by the pH at equilibrium. Leaching behaviors of the same metal from both materials were different. Cadmium, copper, nickel, and zinc were better dissolved form S-OS than S-HS. In acidic medium, chromium and lead had the similar leaching behavior as other metals, but in basic region their release from S-HS was greater than that from S-OS. Humic acids can reduce the dissolution of the metals.

**Introduction:** The land disposal of industrial wastes is one of the becoming serious problems. Heavy metals are concerned because of their increasing abundance in the environment which are released into soils from a wide range of natural and anthropogenic sources, moreover their relatively high toxicity even at low concentration. Once released into the soil matrix, heavy metals can impact environmental quality and human health via ground water and surface water. Humic acids are composing the greatest part of the organic substances (biomass) on the Earth. They are yellow to dark brown polymers, contained in all soils, waters, and organic-containing sediments [1]. Knowledge of the complexation of heavy metals with humic acids is of great importance in the understanding of metal (bio)availability and mobility in natural aquatic systems. Accordingly, man has set up complex treatment processes or immobilization technologies to prevent and control the pollution. Most common treatment options for metals-contaminated sites are stabilization and solidification (S/S) technology. The partial use of solidified materials in civil engineering applications, such as

landfill and construction materials is of great interest nowadays. However, it is necessary to develop appropriate tools for the environmental behaviour assessment in order to avoid abusive use of the materials obtained by waste solidification. The study of the pollutant release from a material under specified leaching conditions represents one of the environmental assessment tools [2]. This research focus on the Acid Neutralisation Capacity test (ANC), aimed to study the pH influence on the waste constituents release (solubilisation) in steady state conditions and to study the influence of humic acids on solubilisation of heavy metals from cement-based stabilised contaminated soil.

**Methodology:** Original contaminated soil (OS) was sampled and the contents of Cd, Cu, Cr, Ni, Pb, and Zn were determined. Humic acids (5% w/w) was added into this soil (HS). The stabilization/solidification by Portland cement was done for humic acid added soil (S-HS) and original contaminated soil (S-OS). The experimental study of metal solubility according to the leachant pH was carried out on finely-homogenized, crushed materials in order to rapidly reach solid/liquid steady state conditions in sealed PE bottles. Contact solutions using maintained at various pH values between 0.5 and 12 by addition of nitric acid or sodium hydroxide solutions, regulated the liquid to solid ration (L/S) of 10. About 5.0 g of 2 mm ground S-OS and S-HS (5%w/w HA added) was weighed in 75 ml PE bottle. Then 25 mL of deionised water was added into bottle. After that, the mixture pH was potentiometrically adjusted to maintain equilibrating at values ranging from 0.5 to 12 by addition of 0.5 M nitric acid/sodium hydroxide. This mixture was mechanical shaken for 30 min. The suspension was settled for 7 days. After that, the mixture was filtrated two times through Whatman no.42 filter paper. The filtrate finally was measured the pH and re-acidified to pH around 2 by nitric acid addition. The amounts of metal were determined by an ICP-OES. Each batch was run in duplicate. The TCLP test was performed for both materials.

**Results, Discussion and Conclusion:** The leaching of heavy metals from crushed mortar at various pH values was shown in Fig. 1. The extent of metal solubilization depended on the pH, degree of complex ability of humic acids, and the nature of chemical pollutants. For S-OS, the amount of released metals increased as the pH of the system was decreased. In principle, this will be related with the solubility constant,  $K_{sp}$ . For all studied heavy metals, they were encouraged as they had some similarities in their chemistry in solution that depends on pH. However, the shapes of the solubilization curves were different as seen in Figs. 1. The amounts of Cd, Cu, Ni, Zn, and Pb (except for Cr) being leached from the S-HS were relatively lower than form S-OS under the leachant pH of 6-8.

These results also indicated that metals in the concrete matrix were strongly retained in such a solidified matrix. For S-HS, the leached amount of cadmium proportional decreased with increasing of leachant pH. The solubilization of nickel species was comparable to the cadmium one; however, under alkaline condition its solubilization was invariable.

In the case of lead solubilization under different pH conditions presented in Fig. 1, there was a valley feature. The least aggressive leaching ( $pH \approx 12$ ) resulted in more increasing of lead release caused by a high pH maintained at the surface. Owing to the amphoteric characteristic of lead at high and low pH of leachant, its solubilization was low for the natural pH-leachant. It indicated that releasing of lead was prone to the chemical conditions. The chromium solubilization under different pH conditions was presented; the solubilization vs. pH relation was a hill features ( $pH$  of 5-12); contrasting to lead one. The amount of leached chromium increased as the pH of the system was downward to about 5, and then leached amount increased with pH increasing up to 10 followed by descending of leached amount again. These features were also observed in the copper, lead, and zinc releasing

illustrated in Fig. 1, respectively. In the last, it can be concluded that the metal solubilization in stabilized soil was a function of pH of leaching medium and the presence of humic acids.

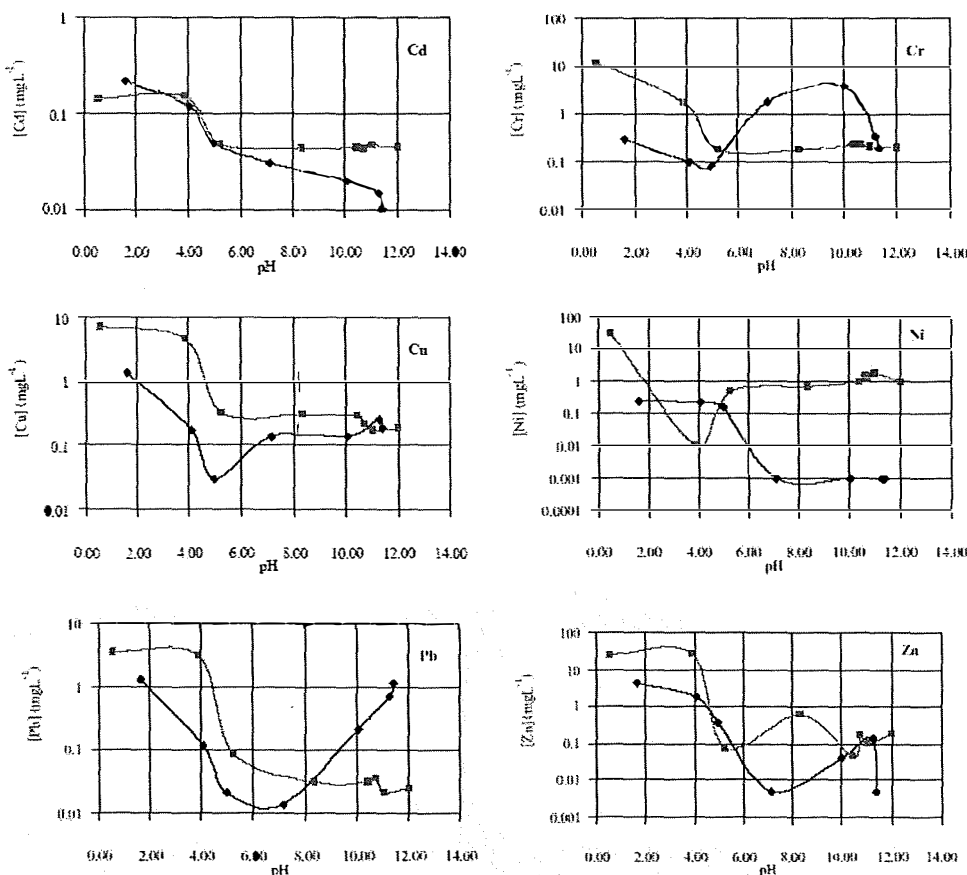


Fig 1. Concentration of Cd, Cr, Cu, Ni, Pb, and Zn versus pH of (a) stabilized humic acid added soil (S-HS: ◆) and (b) stabilized original soil (S-OS; ■)

The TCLP results of S-OS showed that the concentration of all metals leached were below the TCLP regulatory levels. While, the concentration of Cd leached from S-HS was higher than the TCLP regulatory level.

**Acknowledgements:** This work was supported by Thailand Research Fund, Grant MRG4780102.

#### References:

- (1) Steelink, C. (2002) *Analytical Chemistry*, A-Pages, 74(9), 326A-333A.
- (2) Tiruta-Barna, L., Imyim, A., Barna, R. (2004) *Advances in Environmental Research*, 8(3-4), 697-711.

**Keywords:** humic acids, leaching, contaminated soil, heavy metal, pH dependence